



Identification électromagnétique de petites inclusions enfouies

Souhir GDOURA
29/09/2008

Plan

- Introduction
- **1^{ère} partie : Problème direct**
 1. Formule asymptotique du champ diffracté en espace libre
 2. Formule asymptotique du champ diffracté en demi-espace
 3. Comparaison à la méthode des dipôles couplés (CDM)
- **2^{ème} partie : problème inverse**
 - Algorithme d'imagerie MUSIC
- Conclusion

Introduction

Motivations

- Identification électromagnétique d'une collection de petites inclusions 3D enfouies dans un milieu homogène ou un demi-espace par une méthode directe non-itérative opérant à une seule fréquence

Applications envisageables

- Détection des mines anti-personnels
- Imagerie bio-médicale
- Contrôle non-destructif de structures et matériaux

Méthode privilégiée

- MUSIC (MULTiple SIGNAL Classification)

1^{ère} partie : **Problème direct**

**Formule asymptotique du champ diffracté
en espace libre**

Dyades de Green

- Tenseur de Green : solution de

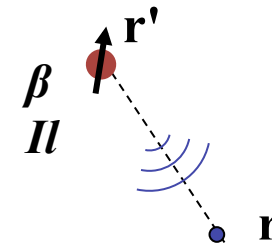
$$\nabla \times \nabla \times \underline{\mathbf{G}}^{ee}(\mathbf{r}, \mathbf{r}') - \omega^2 \varepsilon_0 \mu_0 \underline{\mathbf{G}}^{ee}(\mathbf{r}, \mathbf{r}') = \underline{\mathbf{I}} \delta(\mathbf{r} - \mathbf{r}')$$

$$\underline{\mathbf{G}}^{me}(\mathbf{r}, \mathbf{r}') = \nabla \times \underline{\mathbf{G}}^{ee}(\mathbf{r}, \mathbf{r}')$$

- Champs incidents rayonnés en espace libre

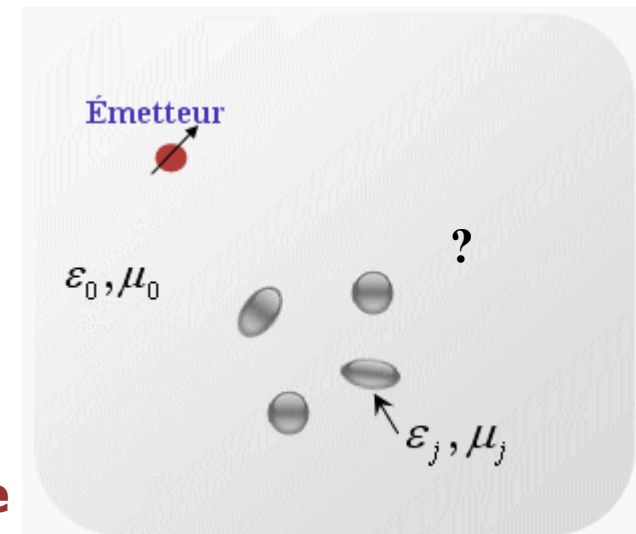
$$\mathbf{E}_0(\mathbf{r}) = i\omega\mu_0 \underline{\mathbf{G}}^{ee}(\mathbf{r}, \mathbf{r}') \cdot \vec{\beta} \parallel$$

$$\mathbf{H}_0(\mathbf{r}) = \underline{\mathbf{G}}^{me}(\mathbf{r}, \mathbf{r}') \cdot \vec{\beta} \parallel$$



Systeme étudié

- Milieu homogène (espace libre ϵ_0, μ_0)
- Une seule fréquence : qq. centaines de MHz
- m inclusions
 - Forme quelconque
 - sphériques ou ellipsoïdales
 - diélectriques et/ou magnétiques
 - permittivité, perméabilité ϵ_j, μ_j
 - volume V_j
 - la taille de l'inclusion d_j est **assez petite devant la longueur d'onde**



Formule asymptotique du champ diffracté

- Formule asymptotique du champ électrique diffracté

$$\mathbf{E}(\mathbf{r}) - \mathbf{E}_0(\mathbf{r}) = \alpha^3 \sum_{j=1}^m \left[\underbrace{i\omega\mu_0 \underline{\mathbf{G}}^{em}(\mathbf{r}, \mathbf{x}_j) \cdot \underline{\mathbf{M}}_g\left(\frac{\mu_j}{\mu_0}; V_j\right) \mathbf{H}_0(\mathbf{x}_j)}_{\text{Contribution magnétique}} + \underbrace{k^2 \underline{\mathbf{G}}^{ee}(\mathbf{r}, \mathbf{x}_j) \cdot \underline{\mathbf{M}}_g\left(\frac{\varepsilon_j}{\varepsilon_0}; V_j\right) \mathbf{E}_0(\mathbf{x}_j)}_{\text{Contribution diélectrique}} \right] + O(\alpha^4)$$

Champ total

- Tenseur de polarisation généralisé $q_j/q_0 = (\varepsilon_j/\varepsilon_0; \mu_j/\mu_0)$

$$\underline{\mathbf{M}}_g\left(\frac{q_j}{q_0}; V_j\right) = \frac{(q_j - q_0)}{q_0} \underline{\mathbf{M}}\left(\frac{q_j}{q_0}; V_j\right)$$

Tenseur de polarisation

- Principe de dualité → la formule asymptotique du champ magnétique diffracté

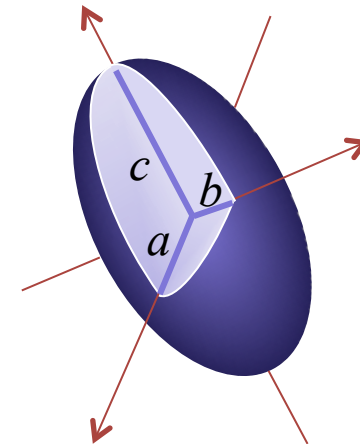
Tenseur de polarisation généralisé

cas d'un ellipsoïde

- Tenseur de polarisation généralisé pour un ellipsoïde

$$\underline{\mathbf{M}}_g \left(\begin{array}{c} q_j \\ q_0 \end{array}; V_j \right) = \underline{\mathbf{R}}^t \begin{bmatrix} m_{ja} & 0 & 0 \\ 0 & m_{jb} & 0 \\ 0 & 0 & m_{jc} \end{bmatrix} \underline{\mathbf{R}} V_j$$

$$m_{jl}, l \in \{a, b, c\} \quad m_{jl} = \frac{q_j - q_0}{q_0 + L_l (q_j - q_0)}$$



- Coefficient de dépolarisation

$$L_l = \frac{abc}{2} \int_0^\infty \frac{dx}{(x+l^2) \sqrt{(x+a^2)} \sqrt{(x+b^2)} \sqrt{(x+c^2)}}$$

	Disque $a=b \gg c$	Sphère $a=b=c$	Aiguille $a \gg b=c$
Semi-axe a	$L_a \rightarrow 0$	$L_a = 1/3$	$L_a \rightarrow 0$
Semi-axe b	$L_b \rightarrow 0$	$L_b = 1/3$	$L_b \rightarrow 1/2$
Semi-axe c	$L_c \rightarrow 1$	$L_c = 1/3$	$L_c \rightarrow 1/2$

Tenseur de polarisation généralisé

cas d'une sphère

- Cas d'une sphère $\rightarrow L_l = 1/3 \rightarrow \underline{\mathbf{M}}_g \left(\frac{q_j}{q_0}; V_j \right) = \frac{3(q_j - q_0)}{2q_0 + q_j} V_j \underline{\mathbf{I}}$

- Formule asymptotique du champ électrique diffracté

$$\mathbf{E}(\mathbf{r}) - \mathbf{E}_0(\mathbf{r}) = i\omega\mu_0 \frac{3(\mu_j - \mu_0)}{2\mu_0 - \mu_j} V_j \underline{\mathbf{G}}^{em}(\mathbf{r}, \mathbf{x}_j) \cdot \mathbf{H}_0(\mathbf{x}_j) + k^2 \frac{3(\varepsilon_j - \varepsilon_0)}{2\varepsilon_0 - \varepsilon_j} V_j \underline{\mathbf{G}}^{ee}(\mathbf{r}, \mathbf{x}_j) \cdot \mathbf{E}_0(\mathbf{x}_j)$$

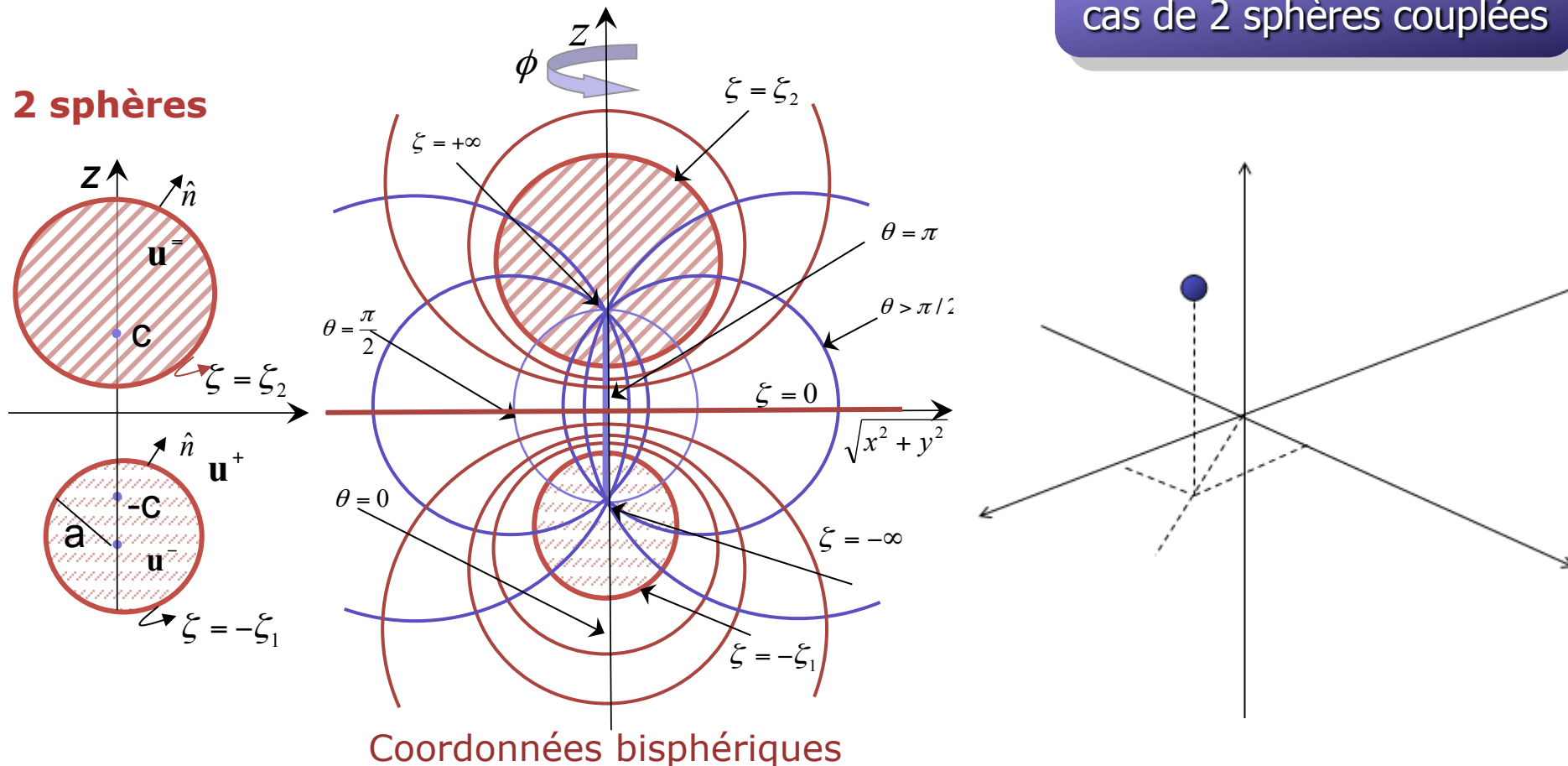
- Moments dipolaires magnétiques et électriques

$$\mathbf{m} = \frac{3(\mu_j - \mu_0)}{2\mu_0 + \mu_j} V_j \mathbf{H}_0(\mathbf{x}_j) \quad \mathbf{p} = \frac{3(\varepsilon_j - \varepsilon_0)}{2q_0 + q_j} V_j \mathbf{E}_0(\mathbf{x}_j)$$

Tenseur de polarisation généralisé

cas de 2 sphères couplées

2 sphères



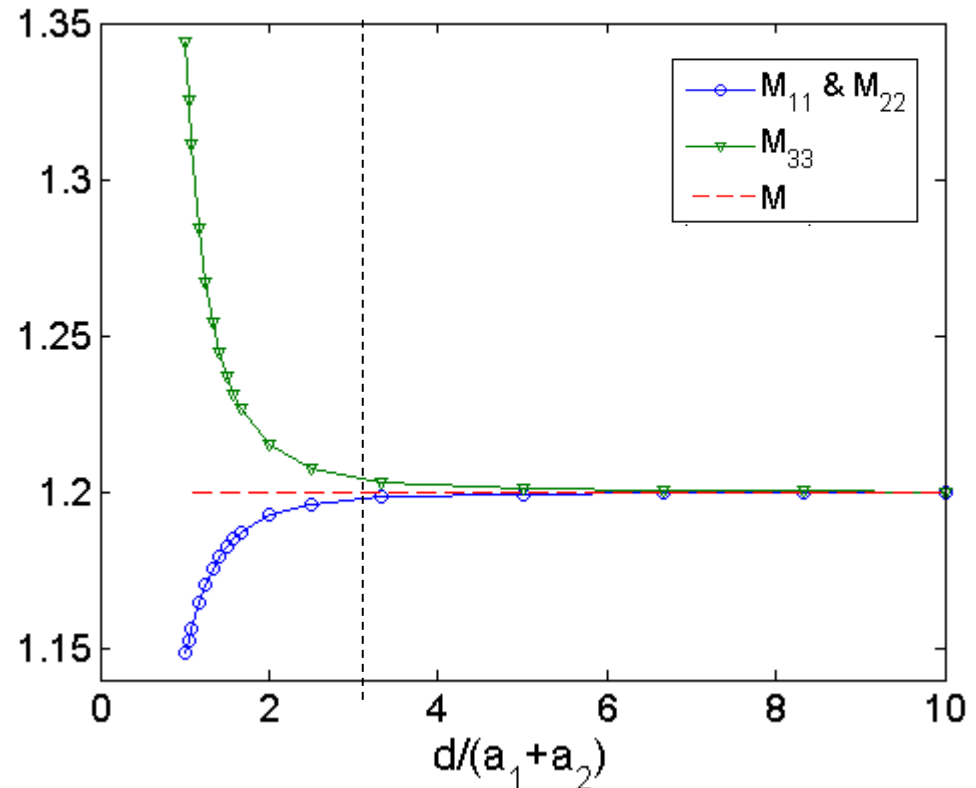
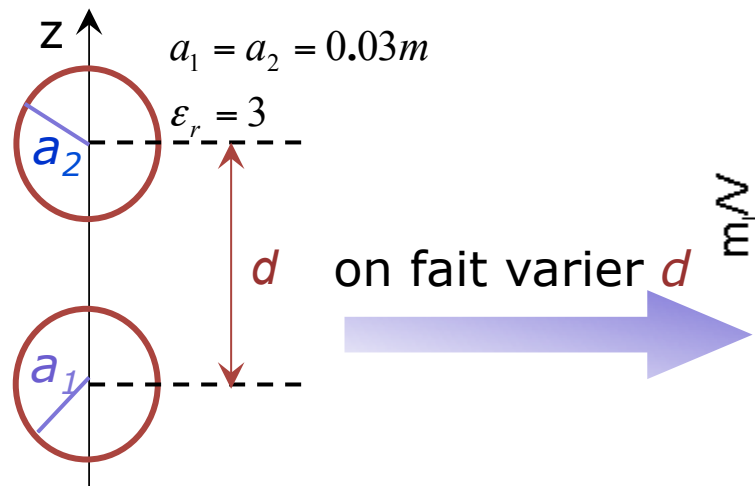
Coordonnées bisphériques

- Tenseur de polarisation généralisé ($\gamma_j = q_j/q_0$)

$$\underline{\mathbf{M}}_g(\gamma_j; V_j) = (\gamma_j - 1)^2 \int_{S_j} \hat{\mathbf{n}} \mathbf{u}^+(\mathbf{r}, \gamma_j) ds_j(\mathbf{r}) + (\gamma_j - 1) |V_j| \underline{\mathbf{I}}$$

Tenseur de polarisation généralisé

cas de 2 sphères couplées

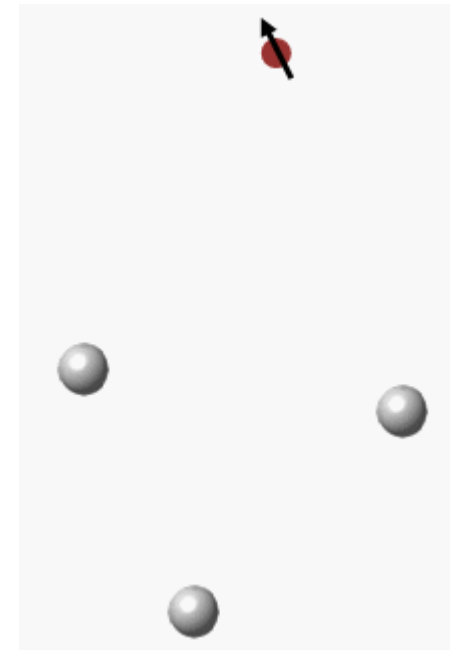


Les éléments du tenseur de polarisation généralisé calculé dans le système des coordonnées bisphériques en fonction de d/a sont comparés à celui d'une sphère isolée en espace libre.

Diffraction multiple (modèle de Foldy-Lax)

- Diffraction multiple entre m inclusions
- Système linéaire de dimensions $6m \times 6m$ pour calculer les champs électrique et magnétique dans chaque inclusion

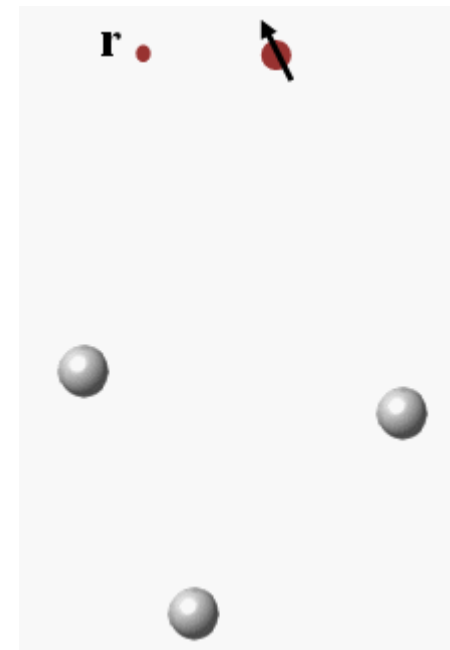
$$\begin{aligned} \mathbf{E}(\mathbf{r}_l) &= \mathbf{E}_0(\mathbf{r}_l) + \alpha^3 \sum_{j \neq l}^m \left[i\omega\mu_0 \underline{\mathbf{G}}^{em}(\mathbf{x}_l, \mathbf{x}_j) \cdot \mathbf{M}_g \left(\frac{\mu_j}{\mu_0}; V_j \right) \mathbf{H}(\mathbf{x}_j) \right. \\ &\quad \left. + k^2 \underline{\mathbf{G}}^{ee}(\mathbf{x}_l, \mathbf{x}_j) \cdot \mathbf{M}_g \left(\frac{\varepsilon_j}{\varepsilon_0}; V_j \right) \mathbf{E}(\mathbf{x}_j) \right] \\ \mathbf{H}(\mathbf{r}_l) &= \mathbf{H}_0(\mathbf{r}_l) + \alpha^3 \sum_{j \neq l}^m \left[-i\omega\varepsilon_0 \underline{\mathbf{G}}^{me}(\mathbf{x}_l, \mathbf{x}_j) \cdot \mathbf{M}_g \left(\frac{\varepsilon_j}{\varepsilon_0}; V_j \right) \mathbf{E}(\mathbf{x}_j) \right. \\ &\quad \left. + k^2 \underline{\mathbf{G}}^{mm}(\mathbf{x}_l, \mathbf{x}_j) \cdot \mathbf{M}_g \left(\frac{\mu_j}{\mu_0}; V_j \right) \mathbf{H}(\mathbf{x}_j) \right] \end{aligned}$$



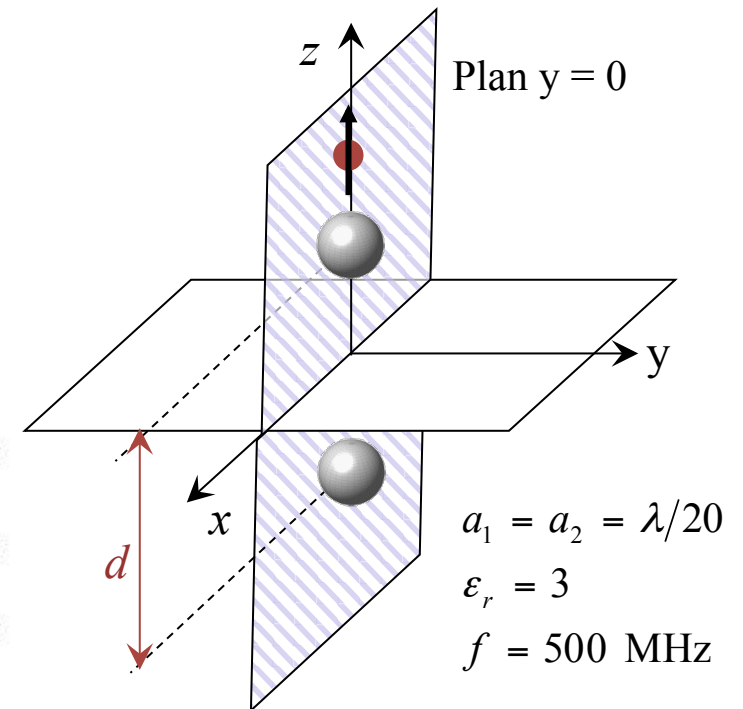
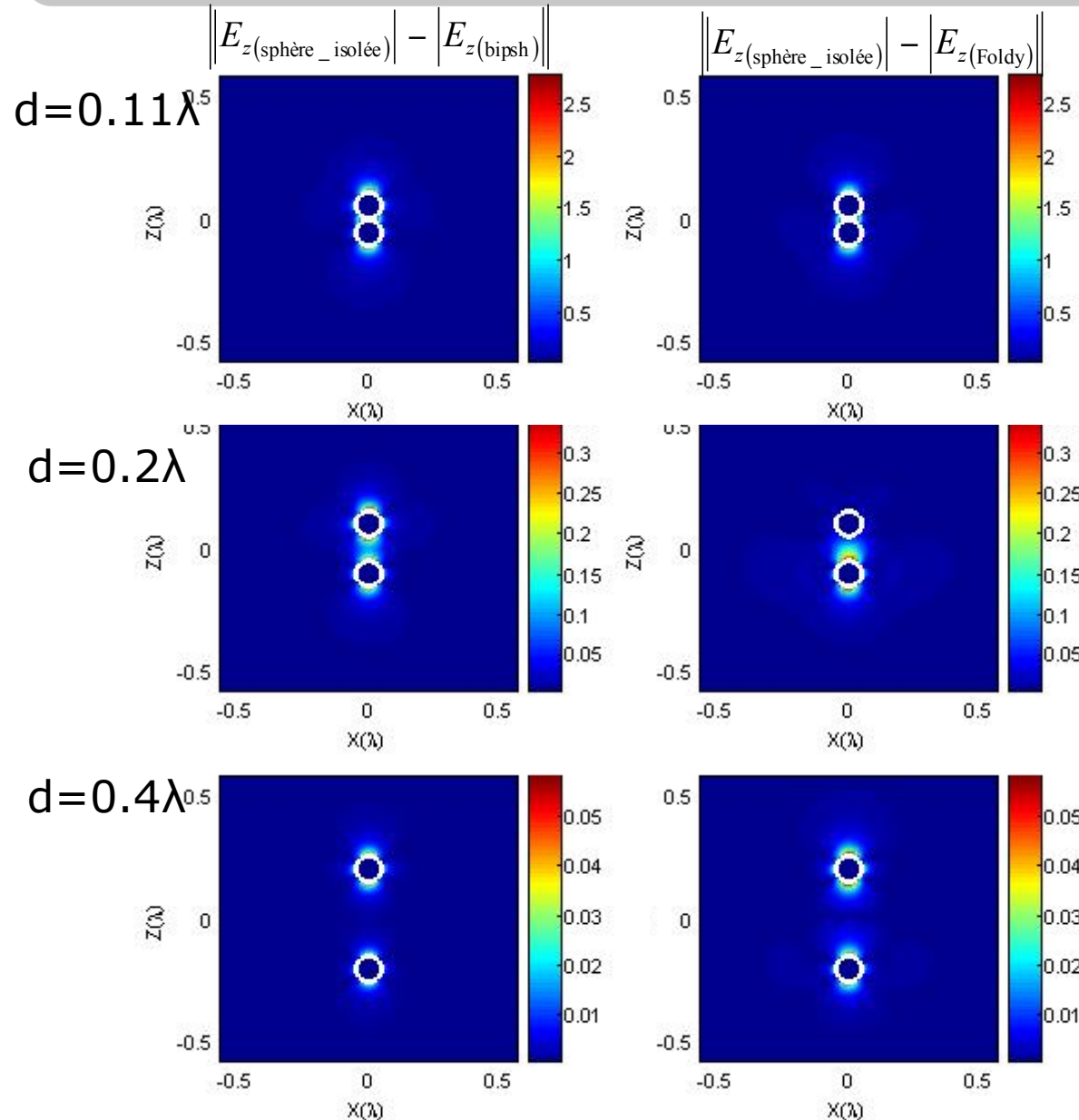
Diffraction multiple (modèle de Foldy-Lax)

- Champ diffracté au point d'observation \mathbf{r}

$$\mathbf{E}(\mathbf{r}) - \mathbf{E}_0(\mathbf{r}) = \alpha^3 \sum_{j=1}^m \left[i\omega\mu_0 \underline{\mathbf{G}}^{em}(\mathbf{r}, \mathbf{x}_j) \cdot \mathbf{M}_g \left(\frac{\mu_j}{\mu_0}; V_j \right) \mathbf{H}(\mathbf{x}_j) \right. \\ \left. + k^2 \underline{\mathbf{G}}^{ee}(\mathbf{r}, \mathbf{x}_j) \cdot \mathbf{M}_g \left(\frac{\varepsilon_j}{\varepsilon_0}; V_j \right) \mathbf{E}(\mathbf{x}_j) \right]$$



Effet du couplage



**Formule asymptotique du champ diffracté
en demi-espace**

Dyades de Green

- Tenseur de Green : solution de

$$\nabla \times \nabla \times \underline{\mathbf{G}}^{ee}(\mathbf{r}, \mathbf{r}') - \omega^2 \varepsilon(\mathbf{r}) \mu(\mathbf{r}) \underline{\mathbf{G}}^{ee}(\mathbf{r}, \mathbf{r}') = \underline{\mathbf{I}} \delta(\mathbf{r} - \mathbf{r}')$$

$$\underline{\mathbf{G}}^{me}(\mathbf{r}, \mathbf{r}') = \nabla \times \underline{\mathbf{G}}^{ee}(\mathbf{r}, \mathbf{r}')$$

- Champs incidents rayonnés en demi-espace

$$\mathbf{E}_0(\mathbf{r}) = i\omega\mu(\mathbf{r}') \underline{\mathbf{G}}^{ee}(\mathbf{r}, \mathbf{r}') \cdot \vec{\beta} \parallel$$

$$\mathbf{H}_0(\mathbf{r}) = \frac{\mu(\mathbf{r}')}{\mu(\mathbf{r})} \underline{\mathbf{G}}^{me}(\mathbf{r}, \mathbf{r}') \cdot \vec{\beta} \parallel$$

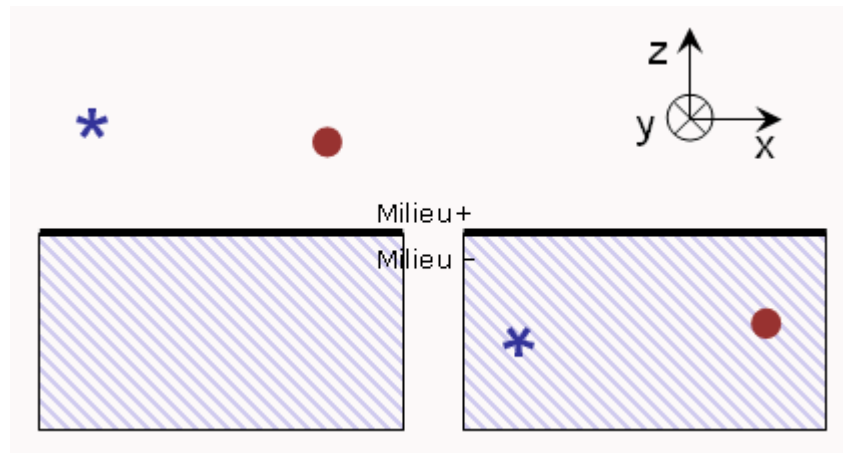
Dyades de Green en demi-espace

* Point source \mathbf{r}'

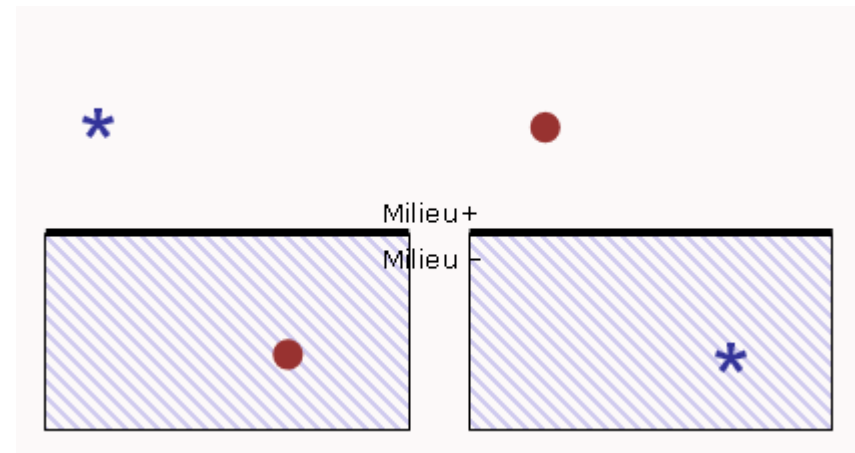
● Point d'observation \mathbf{r}

$$\underline{\mathbf{G}}(\mathbf{r}, \mathbf{r}')$$

$$\underline{\mathbf{G}}(\mathbf{r}, \mathbf{r}') = \underline{\mathbf{G}}^S(\mathbf{r}', \mathbf{r}) + \underline{\mathbf{G}}^R(\mathbf{r}', \mathbf{r})$$



$$\underline{\mathbf{G}}(\mathbf{r}, \mathbf{r}') = \underline{\mathbf{G}}^T(\mathbf{r}', \mathbf{r})$$



Dyades de Green approchées

- Expression de la transformée de Fourier inverse de chaque élément de la matrice Fonction de Green 3×3 :

$$G(r, r') = \frac{1}{2\pi} \int_{-\infty}^{+\infty} \int_{-\infty}^{+\infty} g(k_x, k_y, z, z') e^{ik_s \cdot (r-r')} dk_x dk_y$$

- Intégrales de Sommerfeld :

$$G(r, r') = \frac{1}{2\pi} \int_0^{+\infty} J_n(k_s \rho) k_s^{n+1} \tilde{g}(k_s, z, z') dk_s$$

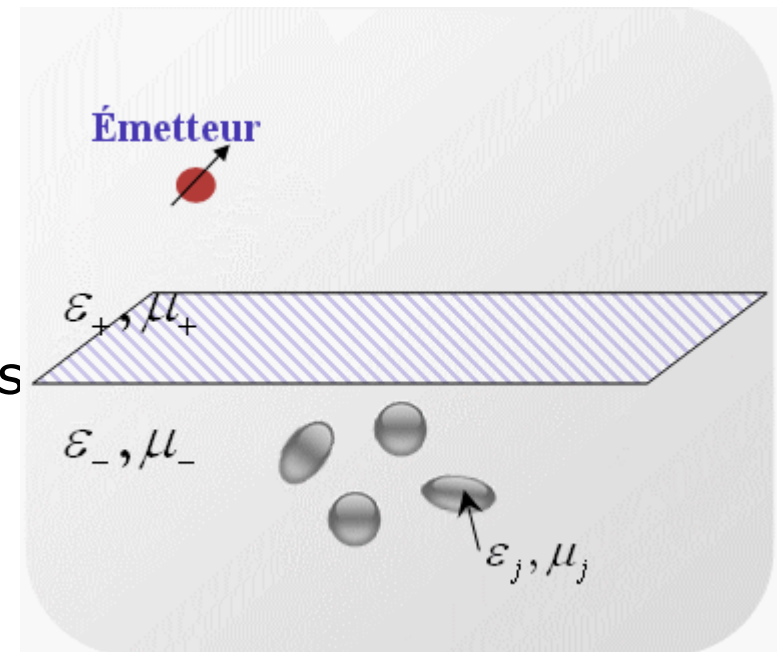
- Trois méthodes pour évaluer des intégrales de Sommerfeld :
 - 1^{ère} méthode : **Revised original path**
 - 2^{ème} méthode : **Steepest-descent path**
 - 3^{ème} méthode : **Leading-order approximation**

Systeme étudié

- Milieu : demi-espace

$$(\mu, \varepsilon)(\mathbf{r}) := \begin{cases} (\mu_+, \varepsilon_+) \\ (\mu_-, \varepsilon_-) \end{cases}$$

- Une seule fréquence
- m inclusions
 - diélectriques et/ou magnétiques
 - sphériques ou ellipsoïdales
 - permittivité, perméabilité
 - volume V_j
 - la taille de l'inclusion est assez petite devant la longueur d'onde



Formule asymptotique du champ diffracté

- Formule asymptotique du champ électrique diffracté

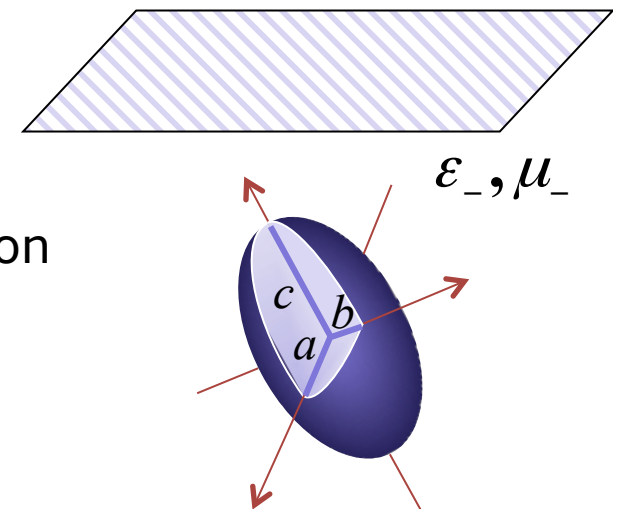
$$\mathbf{E}(\mathbf{r}) - \mathbf{E}_0(\mathbf{r}) = \alpha^3 \sum_{j=1}^m \left[\underbrace{\frac{i\omega\epsilon_- \mu_-}{\epsilon(\mathbf{r})} \underline{\mathbf{G}}^{em}(\mathbf{r}, \mathbf{x}_j) \cdot \underline{\mathbf{M}}_g \left(\frac{\mu_j}{\mu_-}; V_j \right) \mathbf{H}_0(\mathbf{x}_j)}_{\text{Contribution magnétique}} + \underbrace{k_-^2 \underline{\mathbf{G}}^{ee}(\mathbf{r}, \mathbf{x}_j) \cdot \underline{\mathbf{M}}_g \left(\frac{\epsilon_j}{\epsilon_-}; V_j \right) \mathbf{E}_0(\mathbf{x}_j)}_{\text{Contribution diélectrique}} \right] + O(\alpha^4)$$

Champ total

- Tenseur de polarisation généralisé $q_j/q_0 = (\epsilon_j/\epsilon_0; \mu_j/\mu_0)$

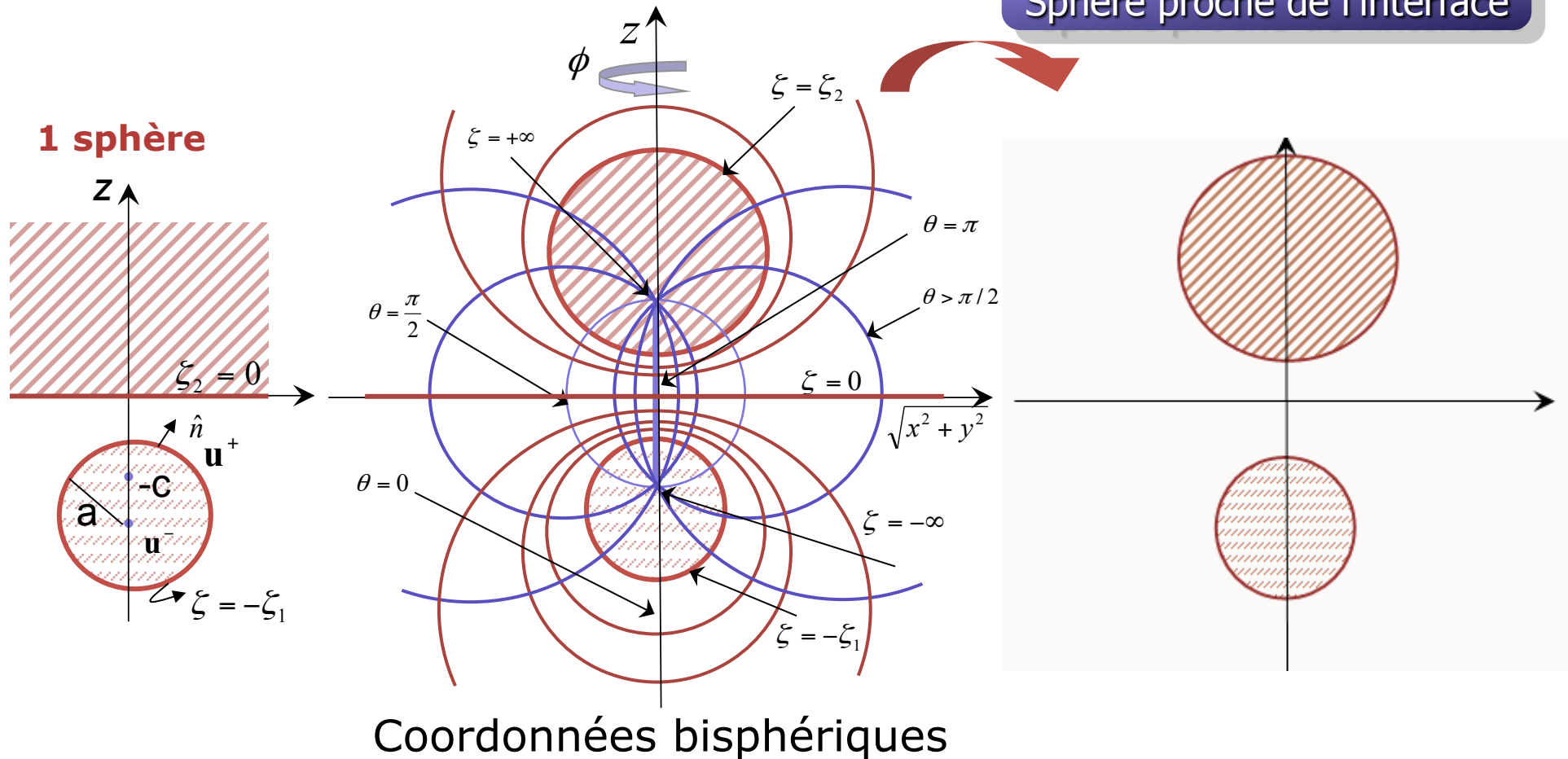
$$\underline{\mathbf{M}}_g \left(\frac{q_j}{q_-}; V_j \right) = \frac{(q_j - q_-)}{q_-} \underline{\mathbf{M}} \left(\frac{q_j}{q_-}; V_j \right)$$

Tenseur de polarisation



Tenseur de polarisation généralisé

Sphère proche de l'interface



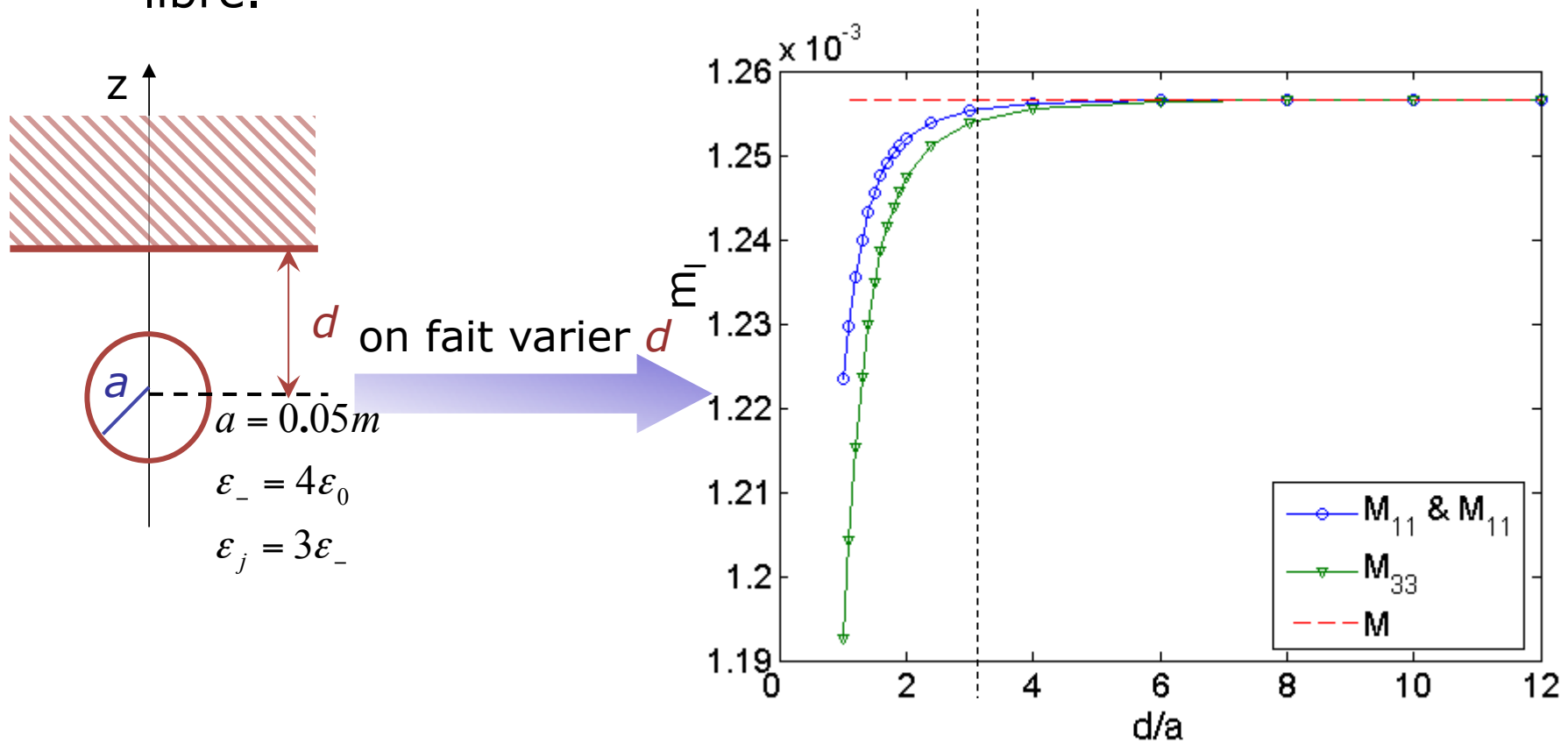
- Tenseur de polarisation généralisé ($\gamma_j = q_j/q_0$)

$$\underline{\mathbf{M}}(\gamma_j; V_j) = (\gamma_j - 1)^2 \int_{s_j} \hat{\mathbf{n}} \mathbf{u}^+(\mathbf{r}, \gamma_j) ds_j(\mathbf{r}) + (\gamma_j - 1) |V_j| \underline{\mathbf{I}}$$

Comportement des éléments du tenseur de polarisation

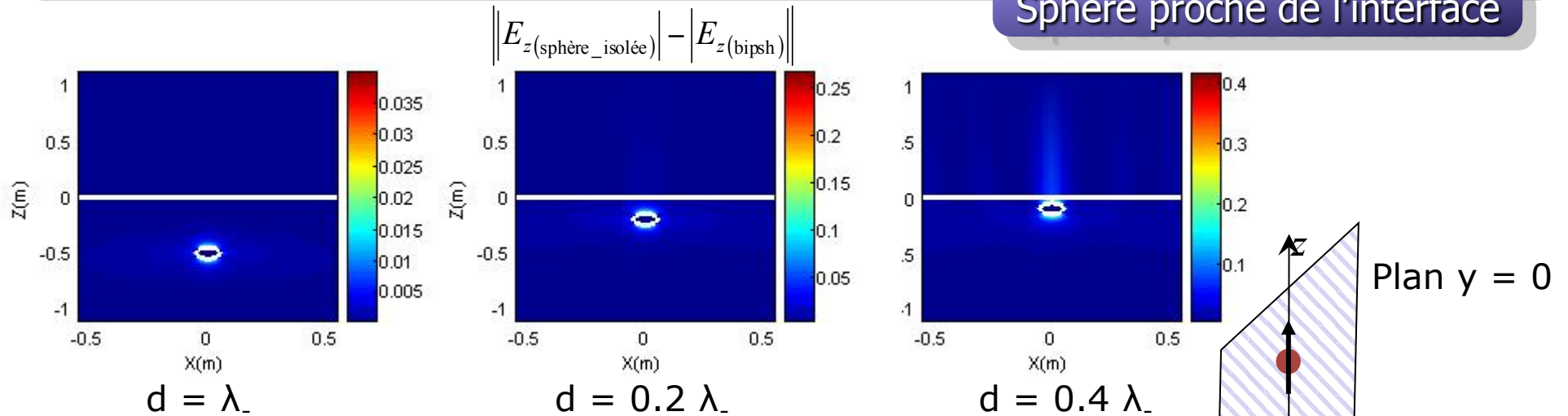
Sphère proche de l'interface

- Les éléments du tenseur de polarisation généralisé calculés par les coordonnées bisphériques en fonction de d/a sont comparés à celui d'une sphère isolée en espace libre.

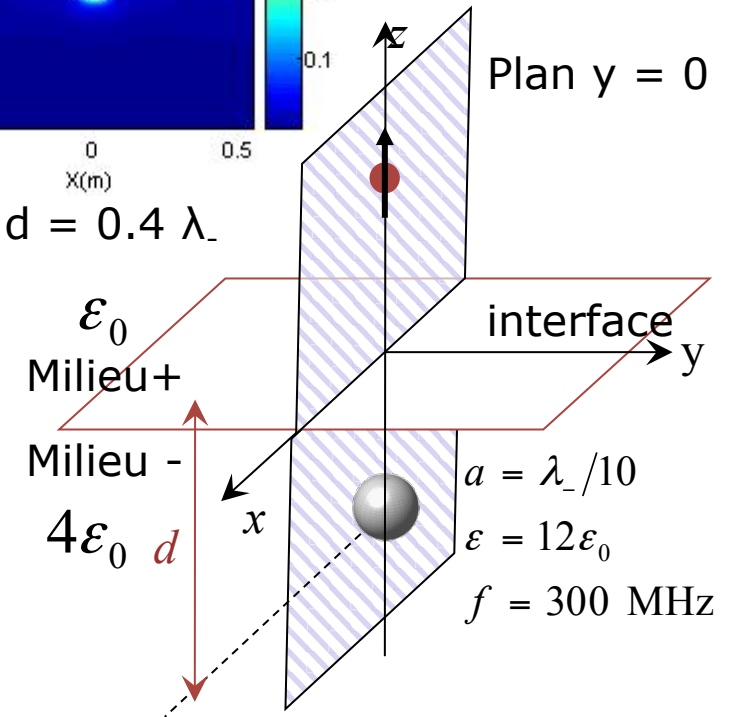


Effet du couplage

Sphère proche de l'interface



- La différence d'amplitude de la composante verticale du champ électrique diffracté sur le plan $y = 0$ calculée par la formule asymptotique avec couplage (coordonnées bisphériques) et sans couplage pour différentes distances d



Comparaison à la méthode des dipôles couplés

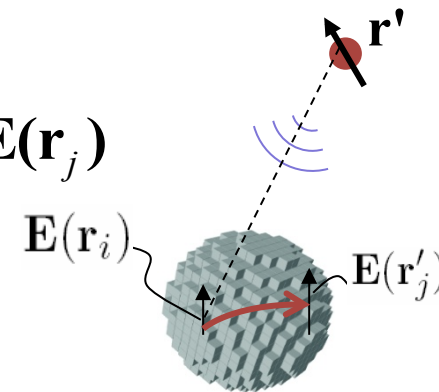
Méthode des dipôles couplés (CDM)

Espace libre

- L'objet est discrétisé en L petits éléments cubiques
- Système linéaire pour calculer le champ électrique dans chaque petit élément

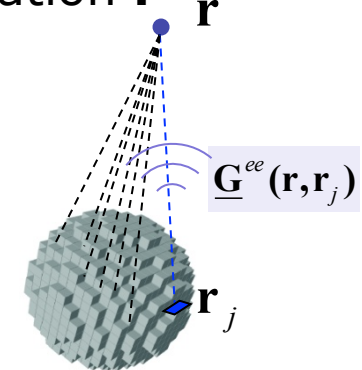
$$\mathbf{E}(\mathbf{r}_i) = \mathbf{E}_0(\mathbf{r}_i) + \sum_{j=1, j \neq i}^L \omega^2 \mu_0 \varepsilon_0 \underline{\mathbf{G}}^{ee}(\mathbf{r}_i, \mathbf{r}_j) \alpha_j \mathbf{E}(\mathbf{r}_j)$$

$$\text{où } \alpha_j = 3 \frac{\varepsilon_j - \varepsilon_0}{\varepsilon_j + 2\varepsilon_0} V_j$$



- Champ électrique diffracté à chaque position d'observation \mathbf{r}

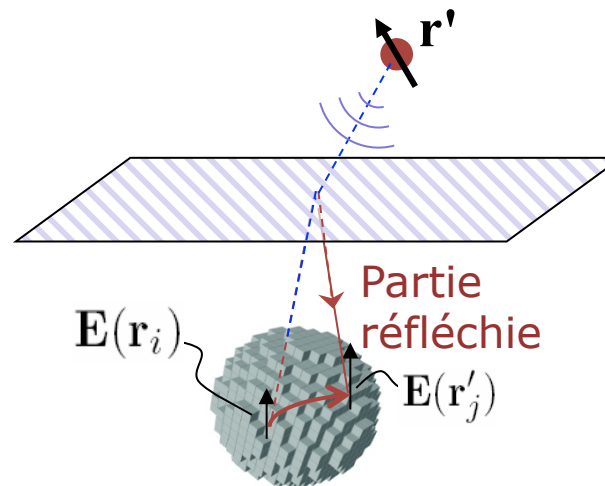
$$\mathbf{E}(\mathbf{r}) - \mathbf{E}_0(\mathbf{r}) = \sum_{j=1}^L \omega^2 \mu_0 \varepsilon_0 \underline{\mathbf{G}}^{ee}(\mathbf{r}, \mathbf{r}_j) \alpha_j \mathbf{E}(\mathbf{r}_j)$$



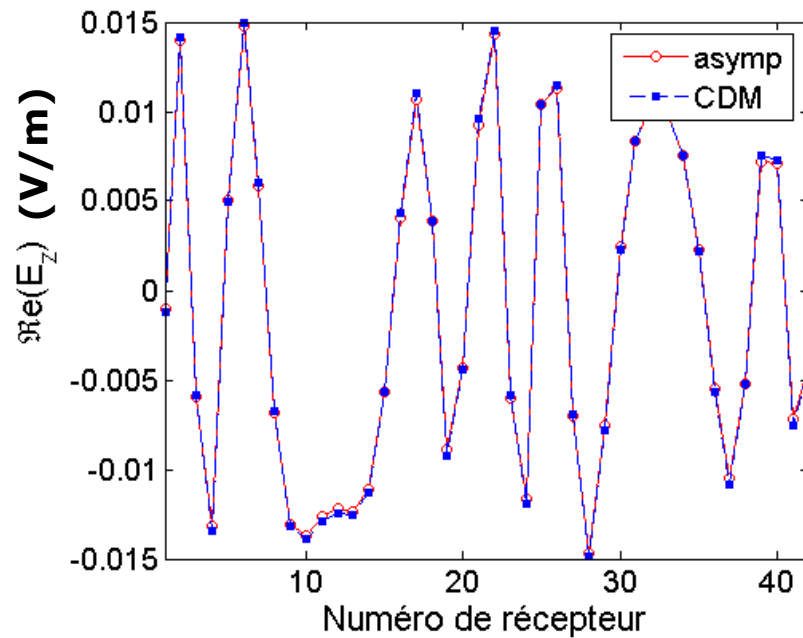
Méthode des dipôles couplés (CDM)

Demi-espace

- CDM prend en compte le couplage entre l'inclusion et l'interface

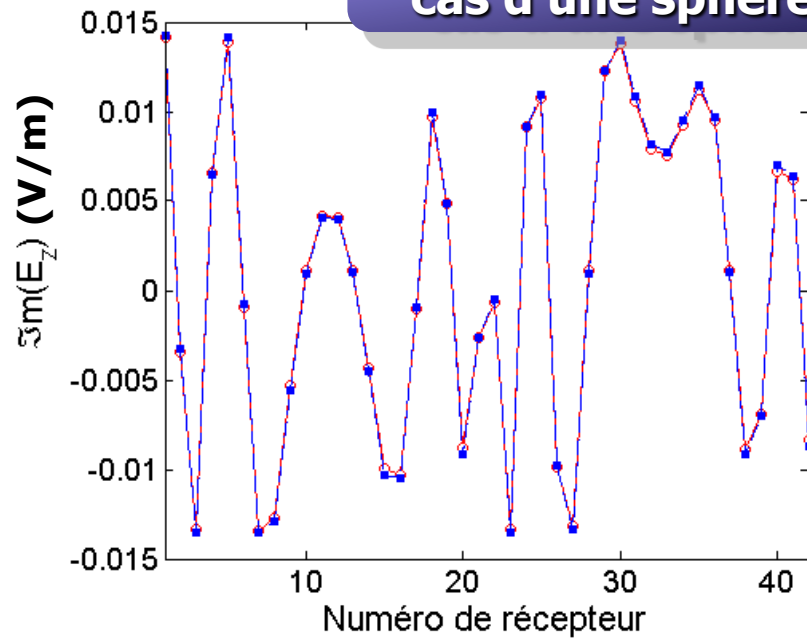


Résultats numériques (espace libre)



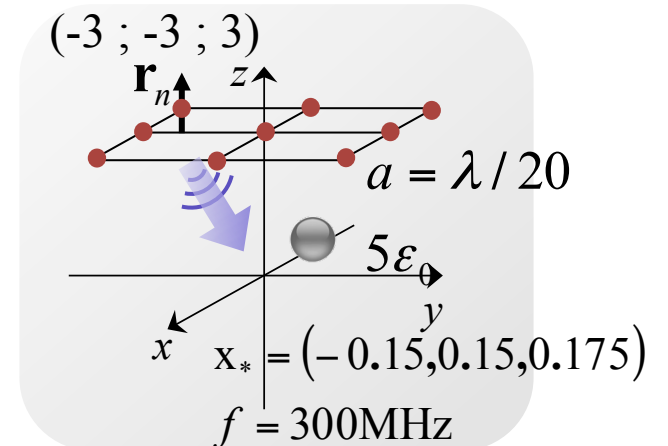
Erreur=2,44%

cas d'une sphère

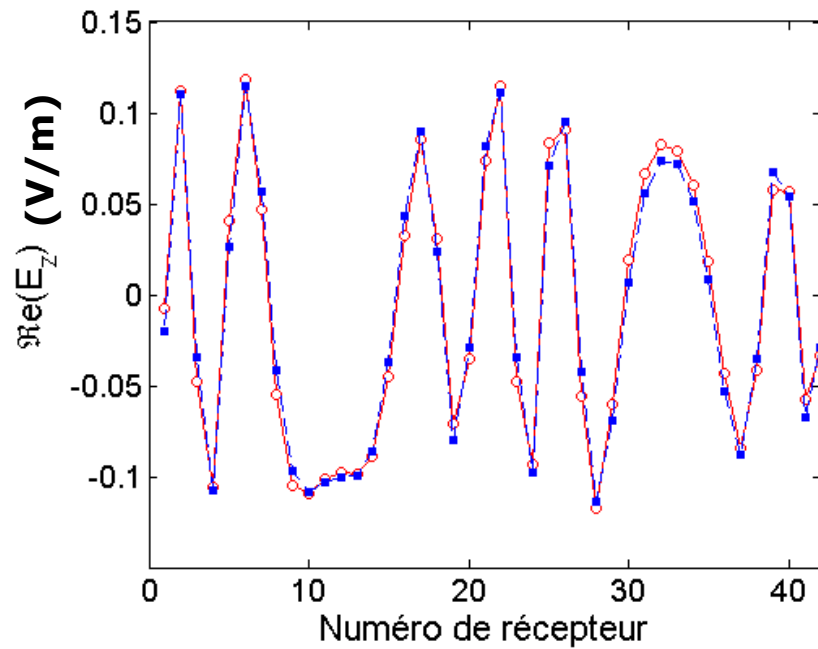


Erreur=2,44%

$$Erreur = \sqrt{\frac{\sum_{\text{récepteurs}} |E_{CDM} - E_{asympt}|^2}{\sum_{\text{récepteurs}} |E_{CDM}|^2}} \times 100$$

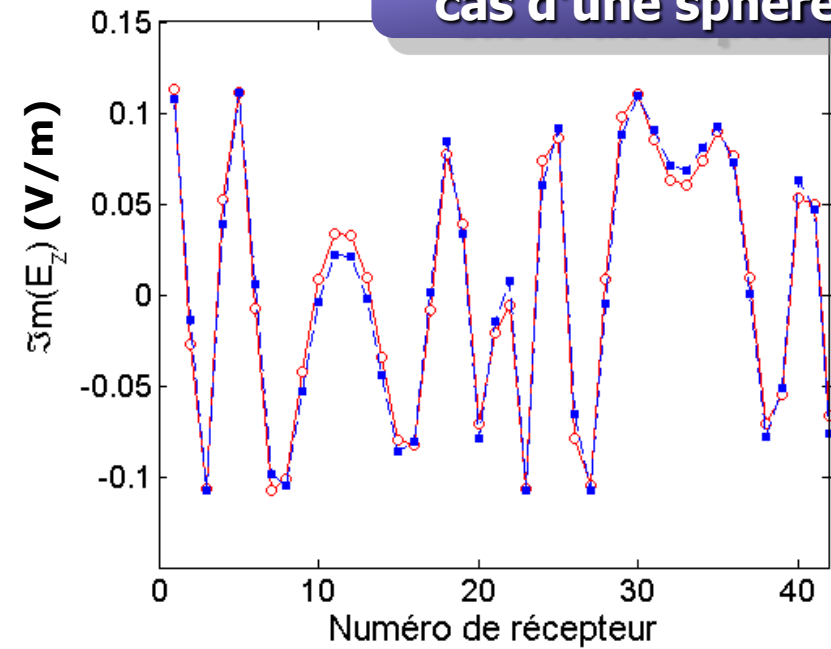


Résultats numériques (espace libre)

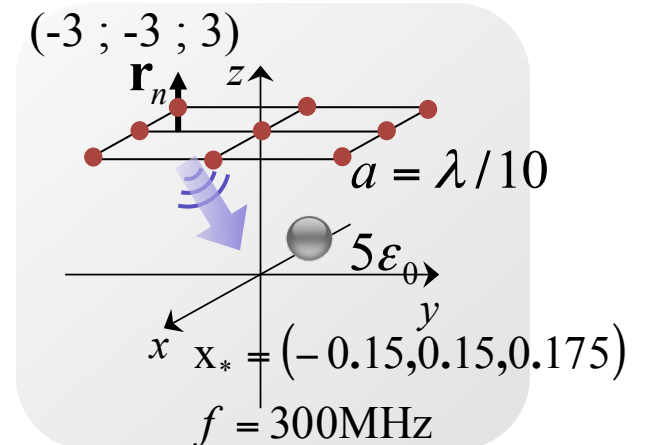


Erreur=11,37%

cas d'une sphère

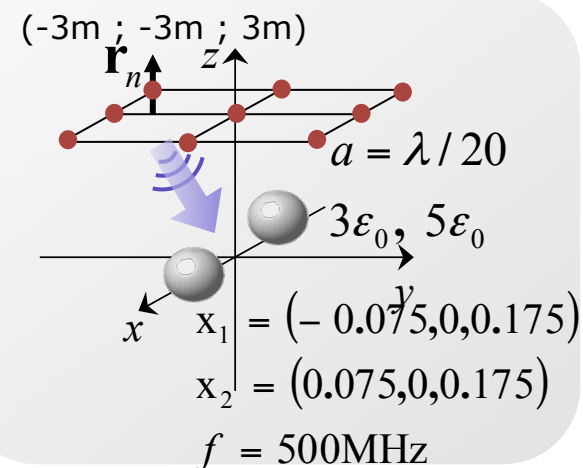
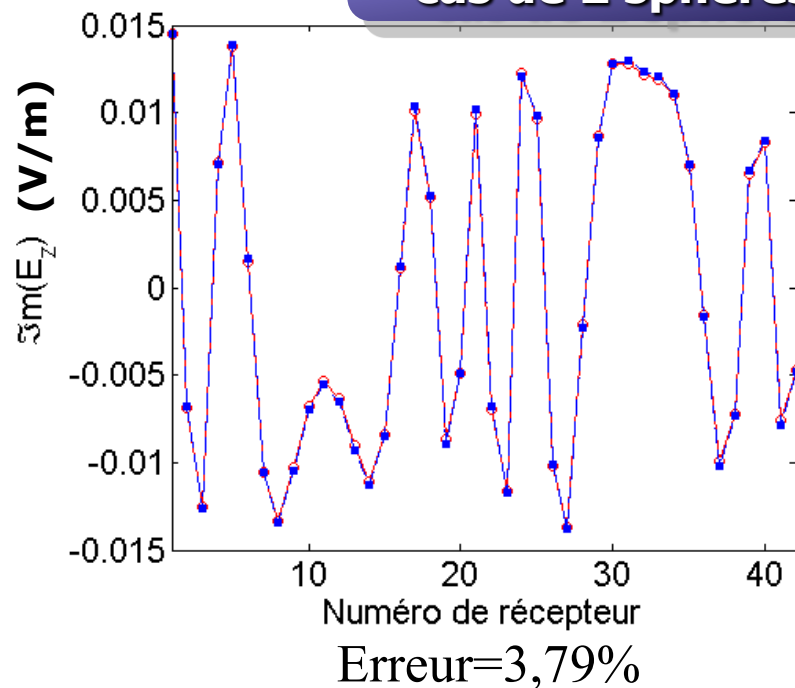
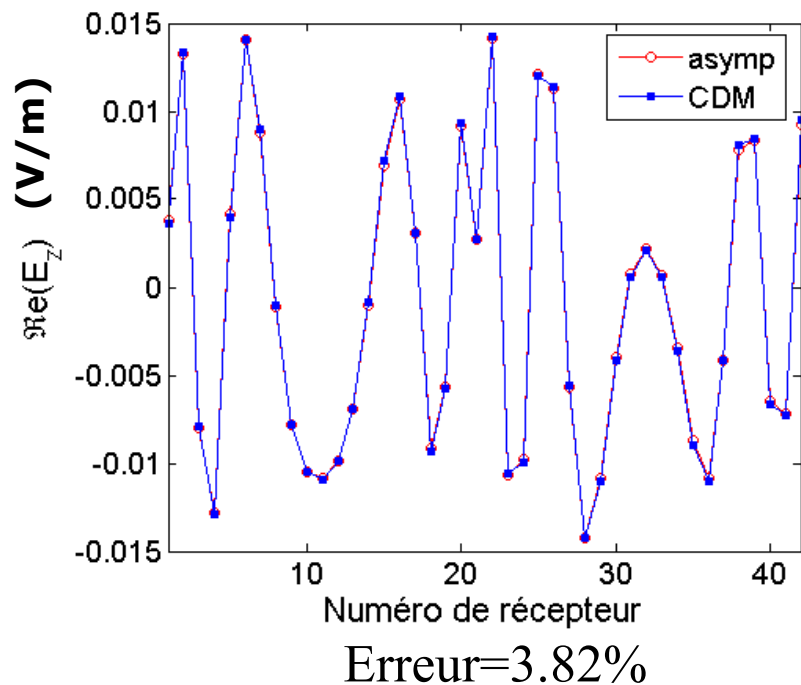


Erreur=10,71%



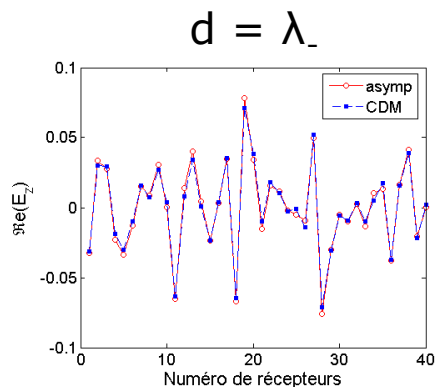
Résultats numériques (espace libre)

cas de 2 sphères

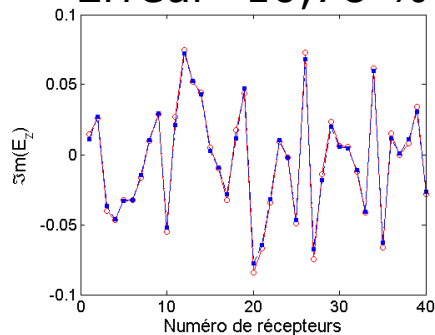


Résultats numériques (demi-espace)

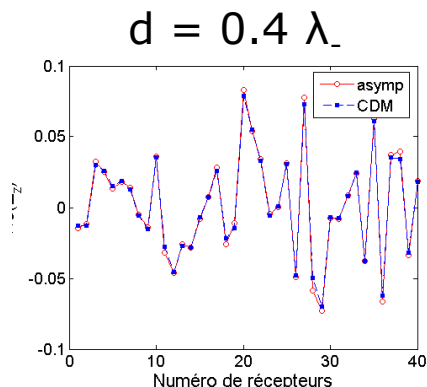
cas d'une sphère



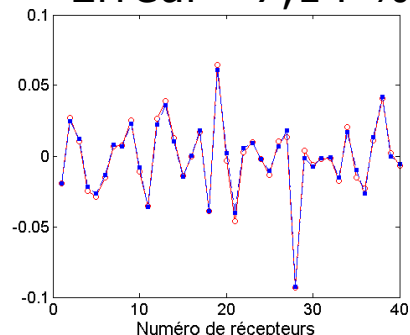
Erreur=10,78 %



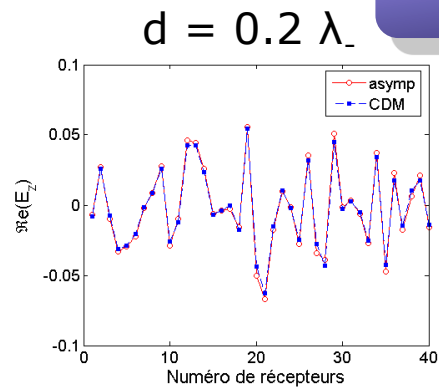
Erreur=7,97 %



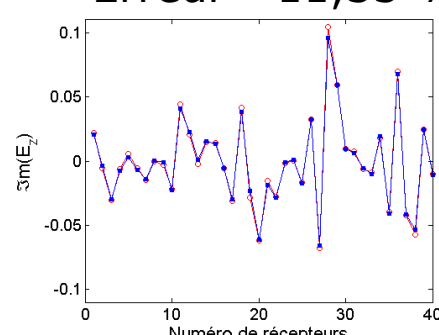
Erreur= 7,14 %



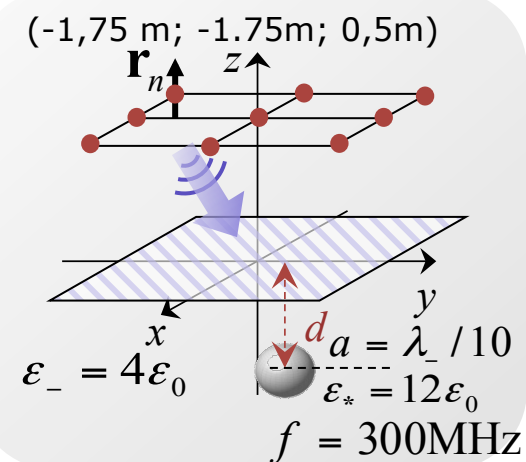
Erreur= 10,07 %



Erreur= 11,33 %



Erreur= 6,68 %



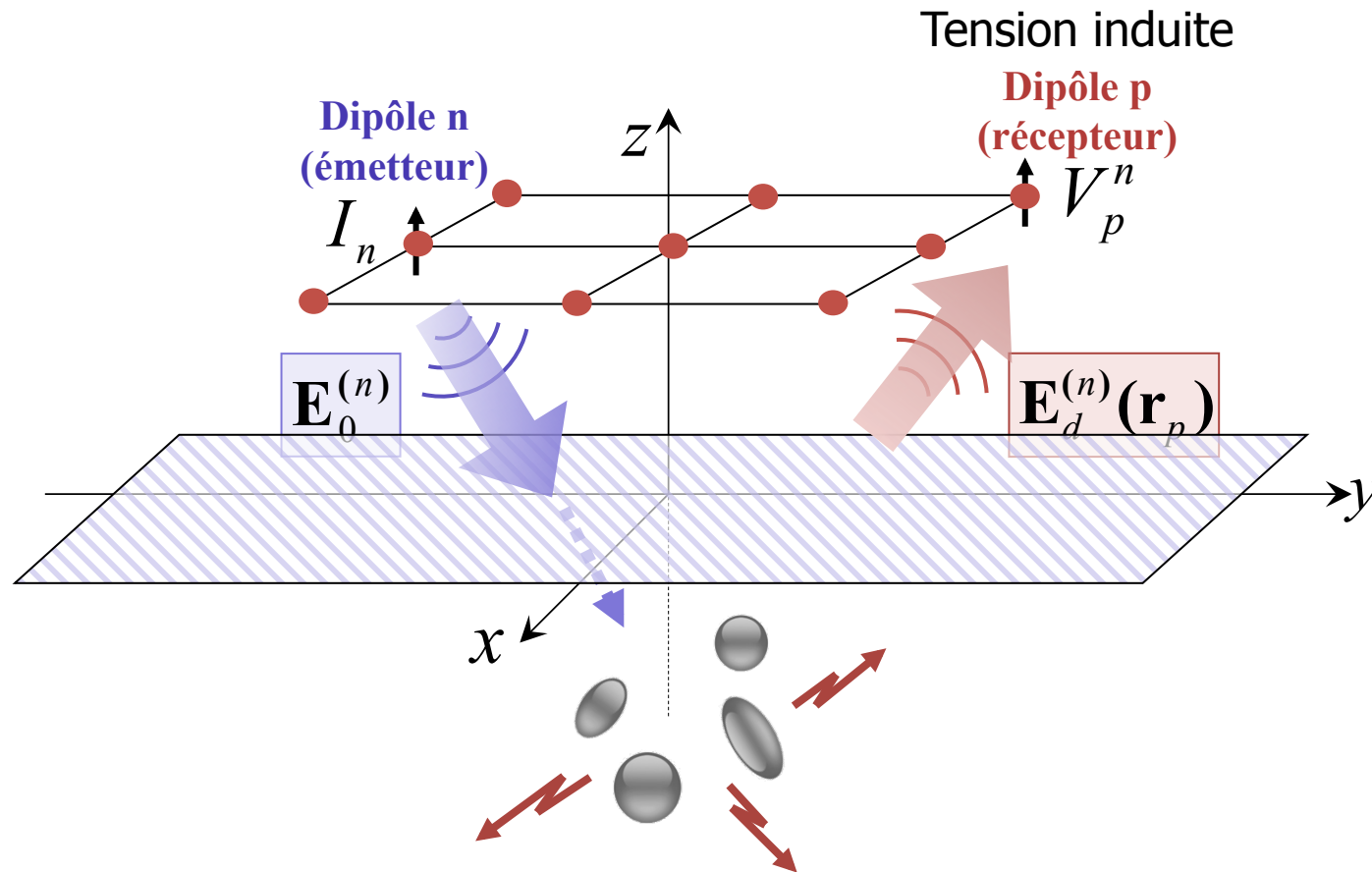
Conclusion

- Validation de la formule asymptotique par la méthode CDM (pour un diamètre $\leq \lambda/5$ et avec une petite permittivité)
- Effet du couplage n'est visible qu'au voisinage immédiat de l'inclusion → si les récepteurs sont éloignés de l'inclusion, on peut ignorer le couplage dans la formulation du problème direct.

2^{ème} partie : **Problème inverse**

Méthode d'imagerie MUSIC

Tension induite



- Tension induite par l'émetteur n sur le récepteur p

$$V_p^n = \hat{z} \cdot \mathbf{E}_d^{(n)}(\mathbf{r}_p) = A_p^n \cdot I_n$$

Matrice de réponse multistatique (MSR)

$$\mathbf{V} = \mathbf{A} \cdot \mathbf{I} \quad \text{où} \quad \mathbf{V} = \begin{bmatrix} V_1 \\ \vdots \\ V_N \end{bmatrix}, \mathbf{I} = \begin{bmatrix} I_1 \\ \vdots \\ I_N \end{bmatrix}$$

- Matrice de réponse multistatique du système :

$$\mathbf{A} = \begin{pmatrix} A_{11} & A_{12} & \cdots & A_{1N} \\ A_{21} & A_{22} & \cdots & A_{2N} \\ \vdots & \vdots & \ddots & \vdots \\ A_{N1} & A_{N2} & \cdots & A_{NN} \end{pmatrix}, \text{ matrice } N \times N$$

- Opérateur de retournement temporel (ORT) = $\mathbf{A}^* \mathbf{A}$ ($\mathbf{A}^* = \overline{\mathbf{A}}^t$)

Matrice de réponse multistatique (MSR)

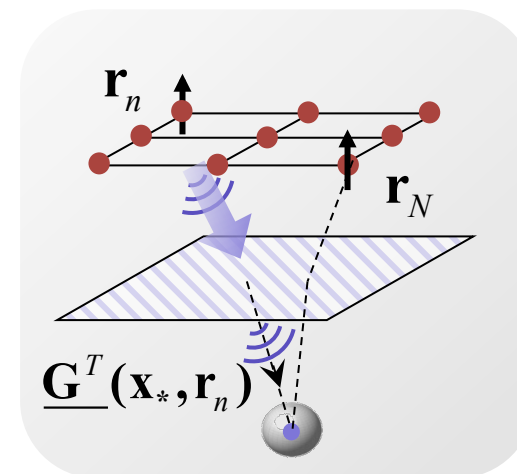
- Composition de la MSR:

$$\mathbf{A} = \begin{matrix} & \begin{matrix} \boxed{G^e(\mathbf{x}_*)} & \boxed{\underline{\mathbf{M}}^\varepsilon} & \boxed{[G^e(\mathbf{x}_*)]^t} \end{matrix} \\ \left. \begin{matrix} N \\ \\ \\ \end{matrix} \right\} & \end{matrix}$$

3

matrice symétrique et définie-positive

de rang 3 => \mathbf{A} est de rang 3



$$G^e(\mathbf{x}_*) = \mu_0 \left[\underline{\mathbf{G}}(\mathbf{x}_*, \mathbf{r}_1) \cdot \hat{\mathbf{z}}, \dots, \underline{\mathbf{G}}(\mathbf{x}_*, \mathbf{r}_N) \cdot \hat{\mathbf{z}} \right]^t$$

la partie transmise de la dyade de Green

Méthode MUSIC

$$\text{SVD de } \mathbf{A} \rightarrow \mathbf{A} = \mathbf{U}\mathbf{\Sigma}\mathbf{V}^*$$

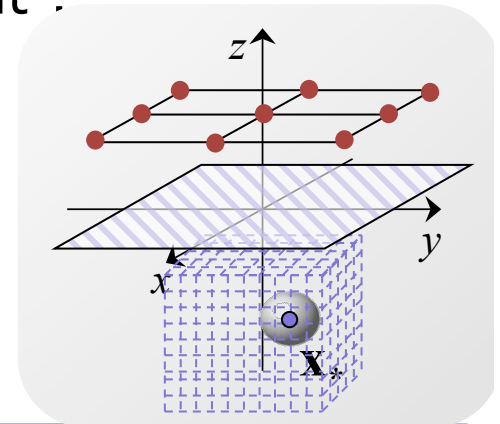
Les valeurs singulières : $\langle \underbrace{\sigma_1 \geq \sigma_2 \dots \geq \sigma_s}_{S \text{ valeurs singulières non nulles}} \mid \geq \sigma_{s+1} \dots \sigma_N \rangle$

Les vecteurs singuliers : $\mathbf{U} = \langle \underbrace{\mathbf{u}_1, \mathbf{u}_2 \dots, \mathbf{u}_s}_{\text{Signal}} \mid \underbrace{\mathbf{u}_{s+1}, \dots, \mathbf{u}_N}_{\text{Bruit}} \rangle$

- $\forall e \neq 0 \in \mathbb{C}^3$, le vecteur $\mathbf{g}(\mathbf{x}_*) = G^e(\mathbf{x}_*) \cdot e$ appartient à l'image de \mathbf{A} .
- Opérateur de projection sur le sous-espace bruit :

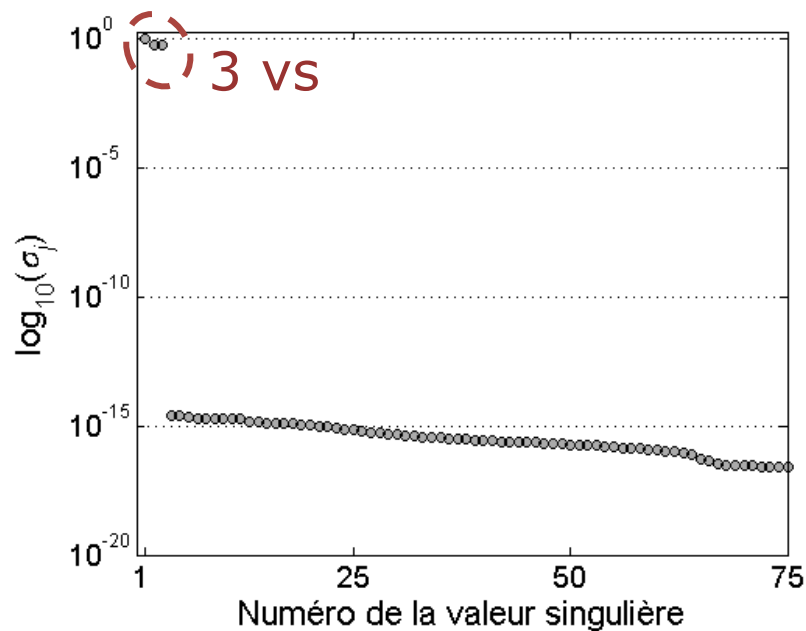
$$\mathbf{P}_n = \sum_{i=s+1}^N \mathbf{u}_i \mathbf{u}_i^*$$

$$\|\mathbf{P}_n \mathbf{g}(\mathbf{x}_*)\| = 0 \rightarrow \frac{1}{\|\mathbf{P}_n \mathbf{g}(\mathbf{x}_*)\|} = \infty$$

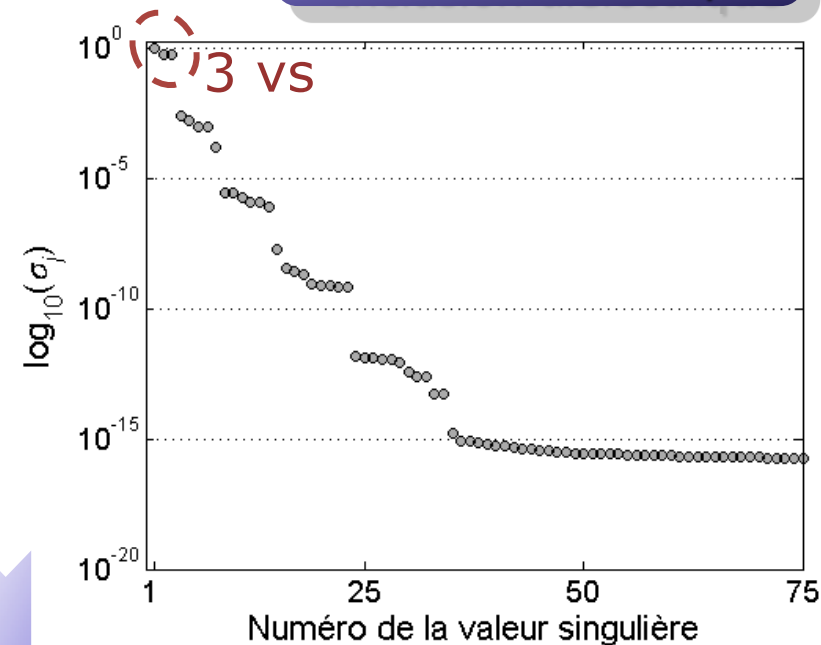
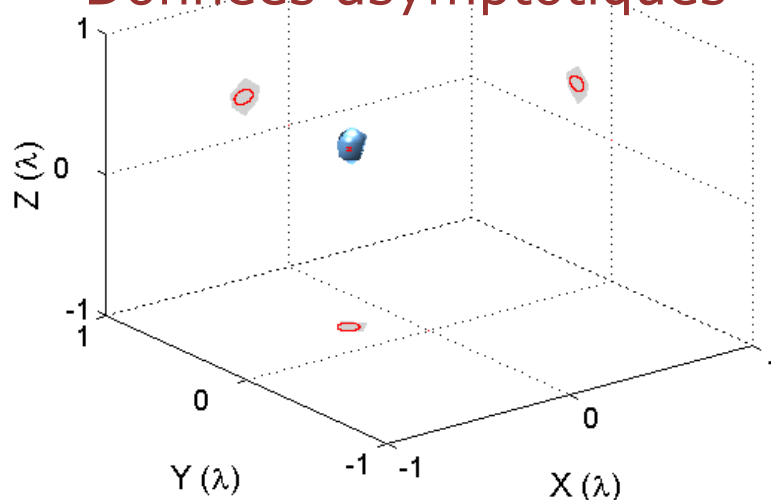


Reconstruction en espace libre ($a=\lambda/20$, $f=500\text{MHz}$, $\epsilon_r=5$)

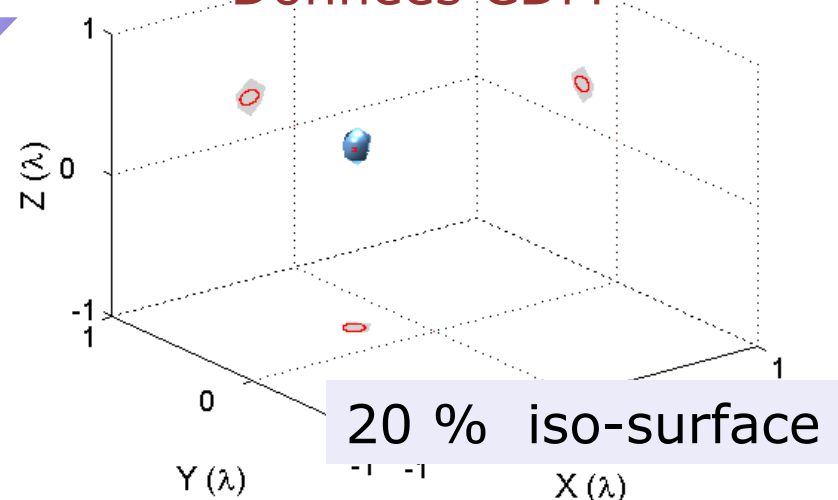
Inclusion diélectrique



Données asymptotiques



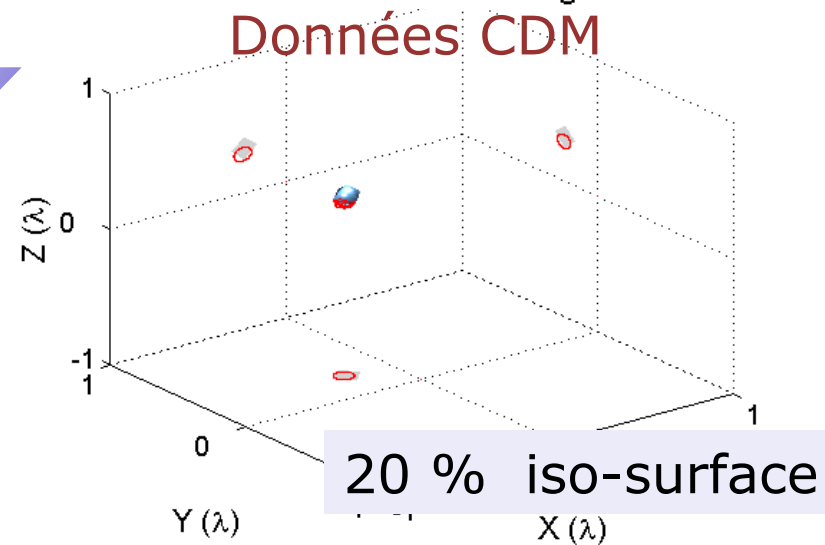
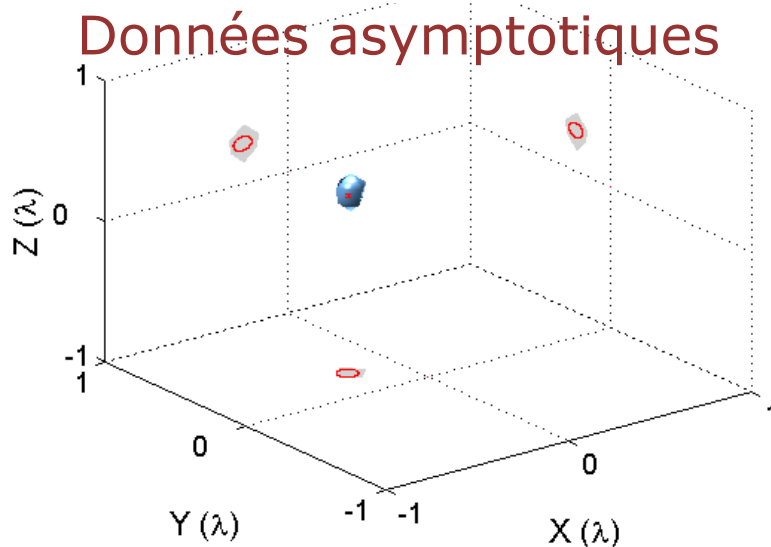
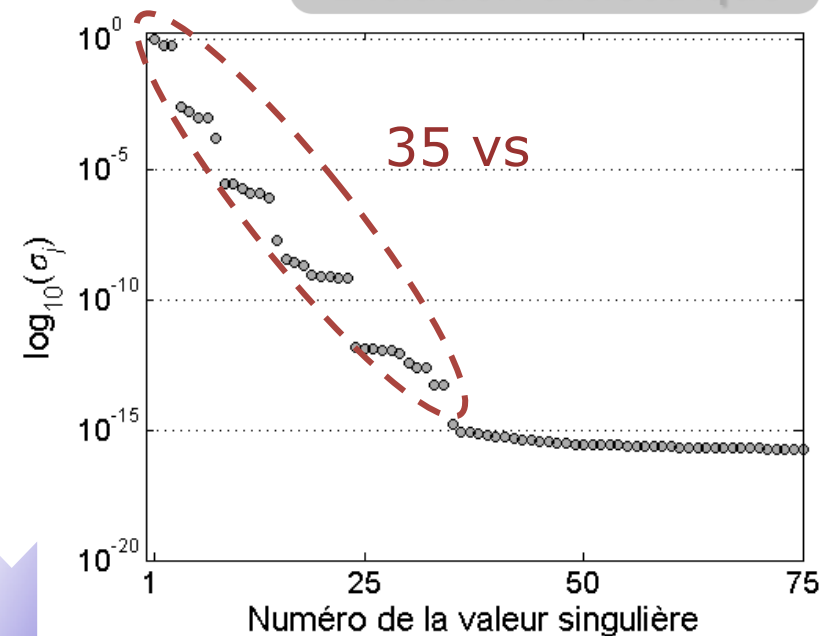
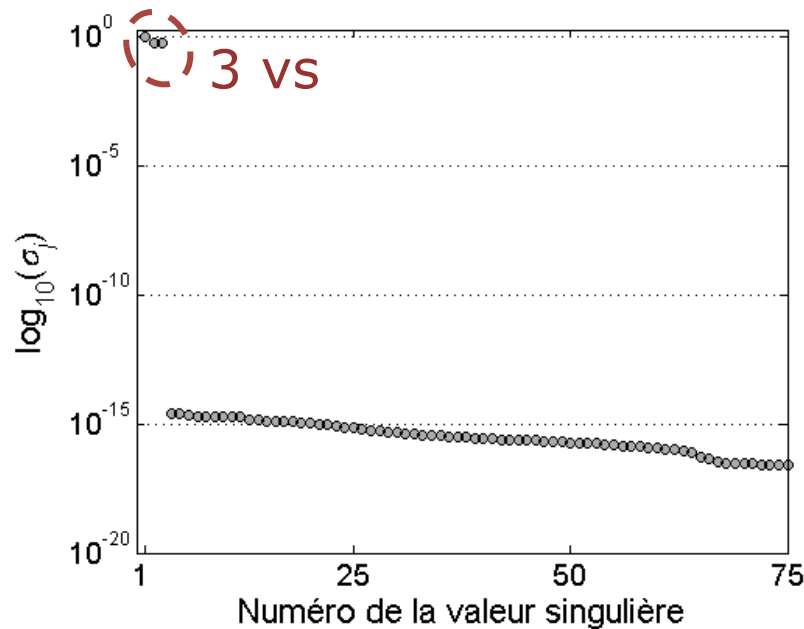
Données CDM



20 % iso-surface

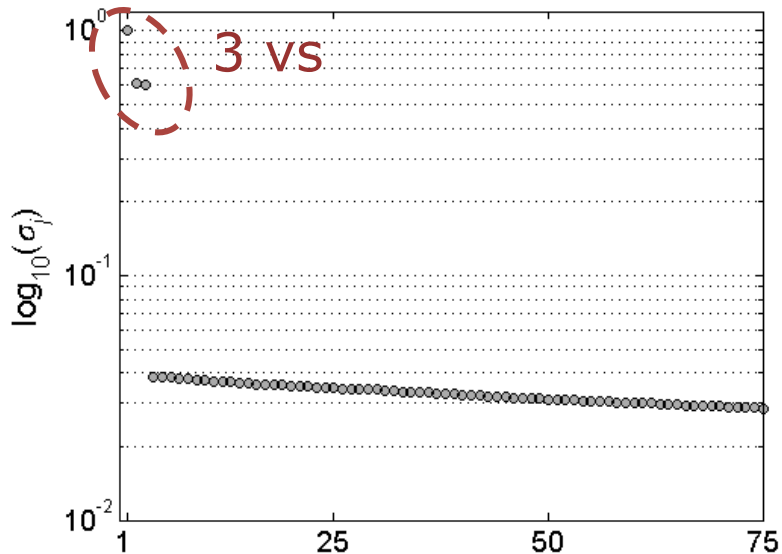
Reconstruction en espace libre ($a=\lambda/20$, $f=500\text{MHz}$, $\epsilon_r=5$)

Inclusion diélectrique

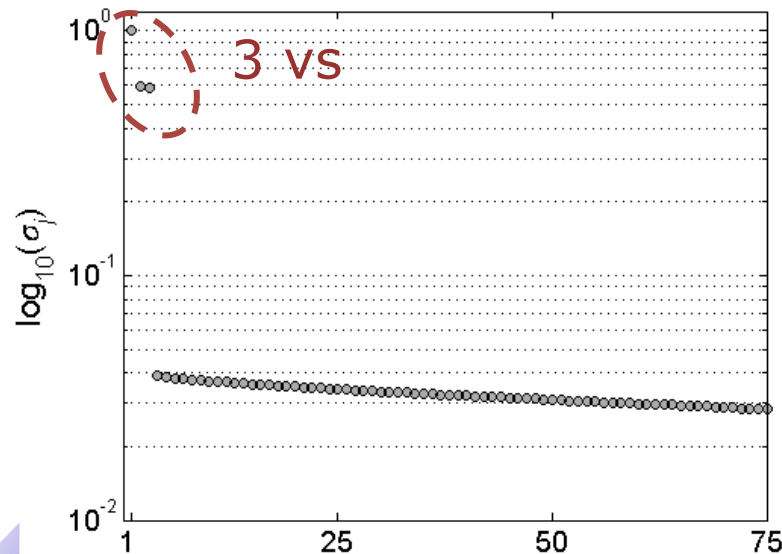
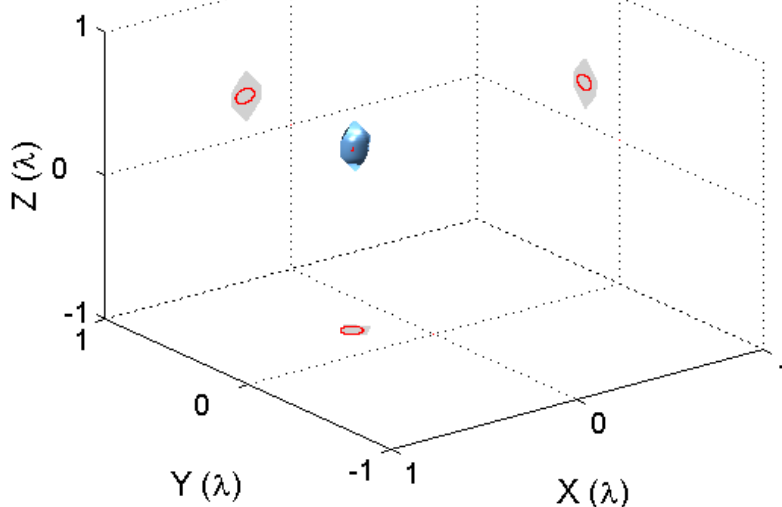


Reconstruction en espace libre (SNR 10dB)

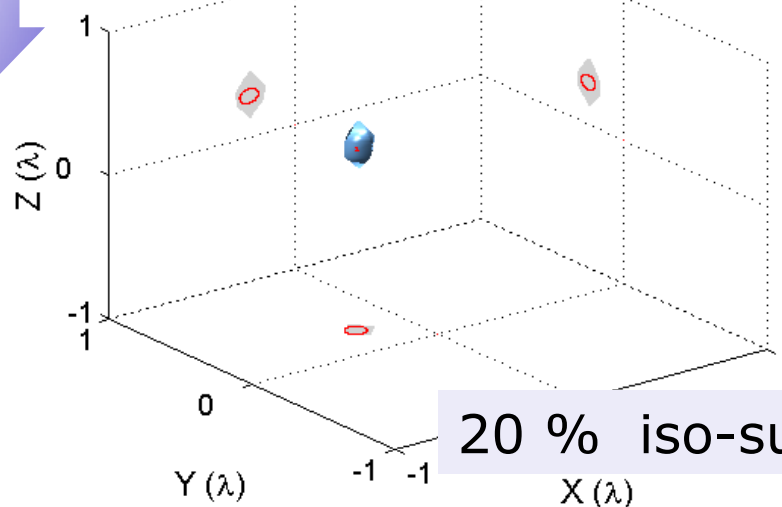
Inclusion diélectrique



Données asymptotiques

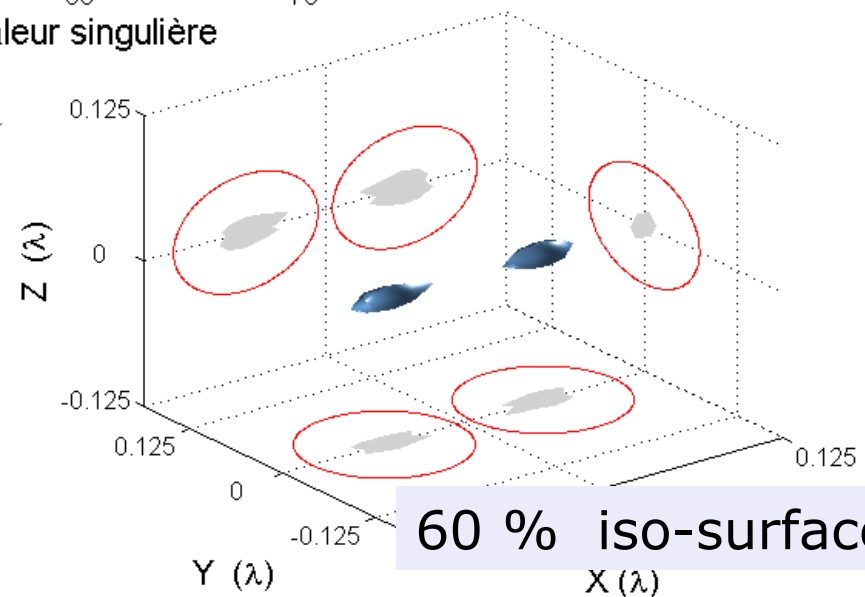
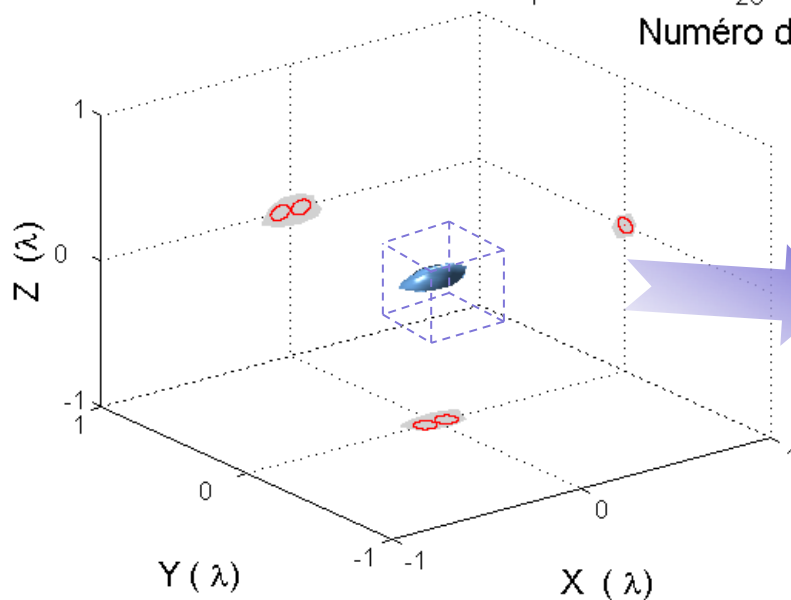
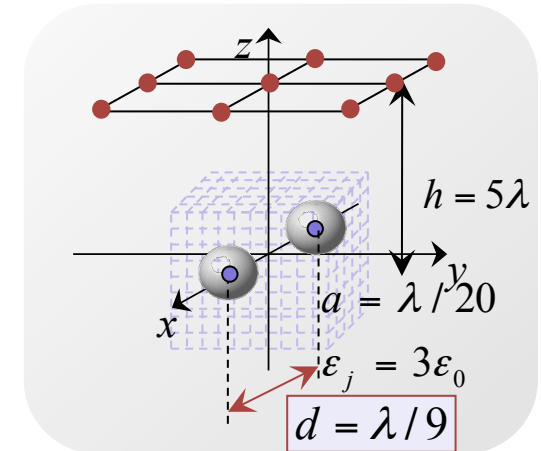
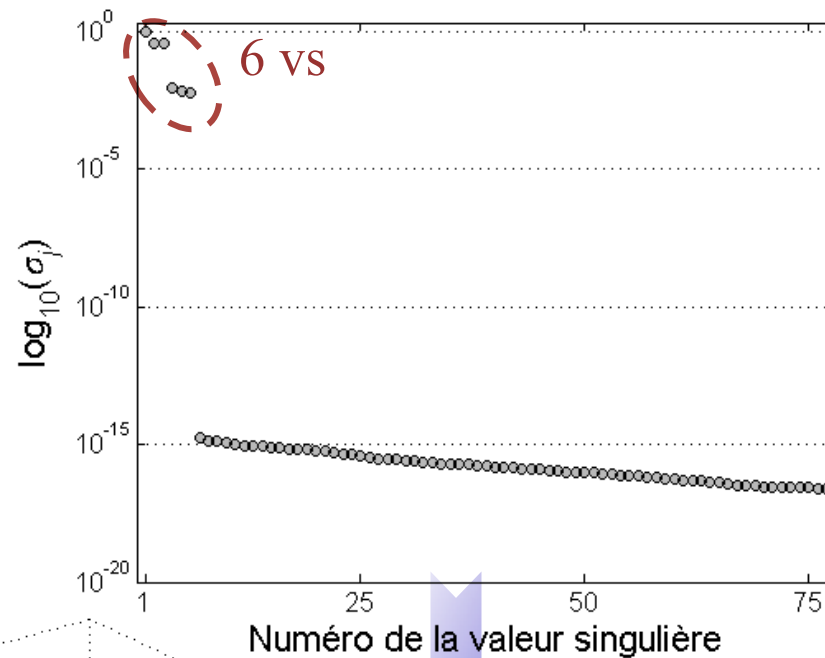


Données CDM



20 % iso-surface

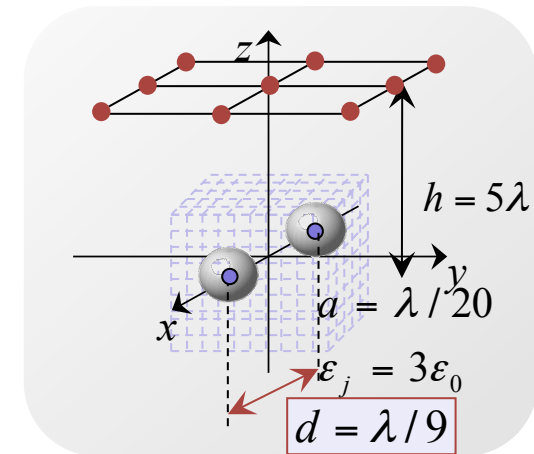
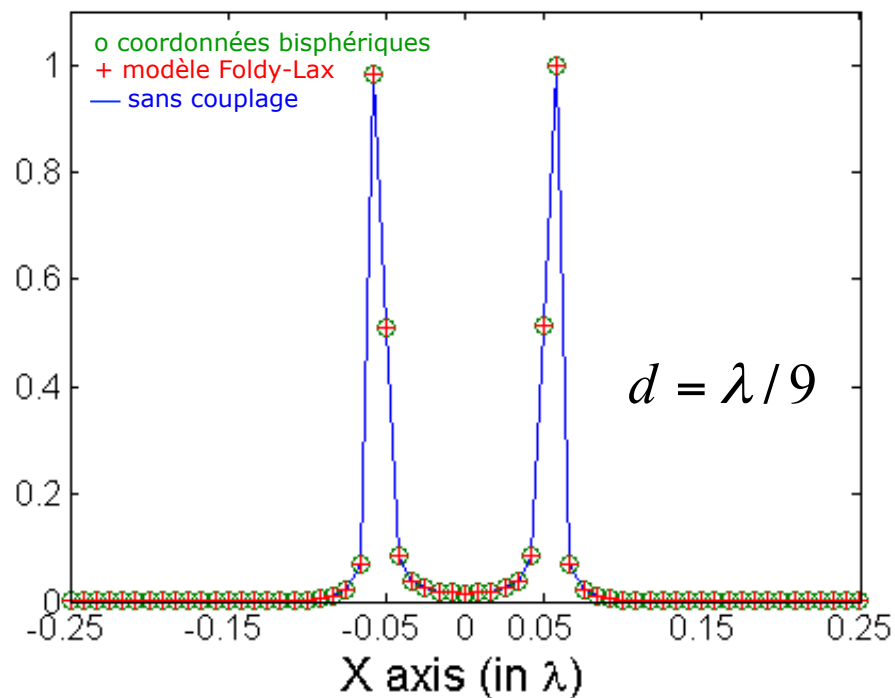
2 sphères couplées (2 sphères identiques)



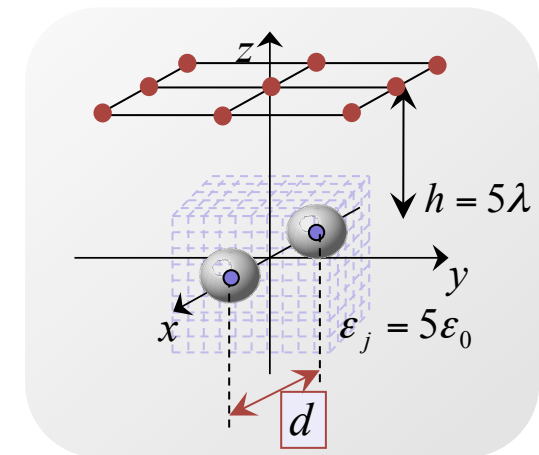
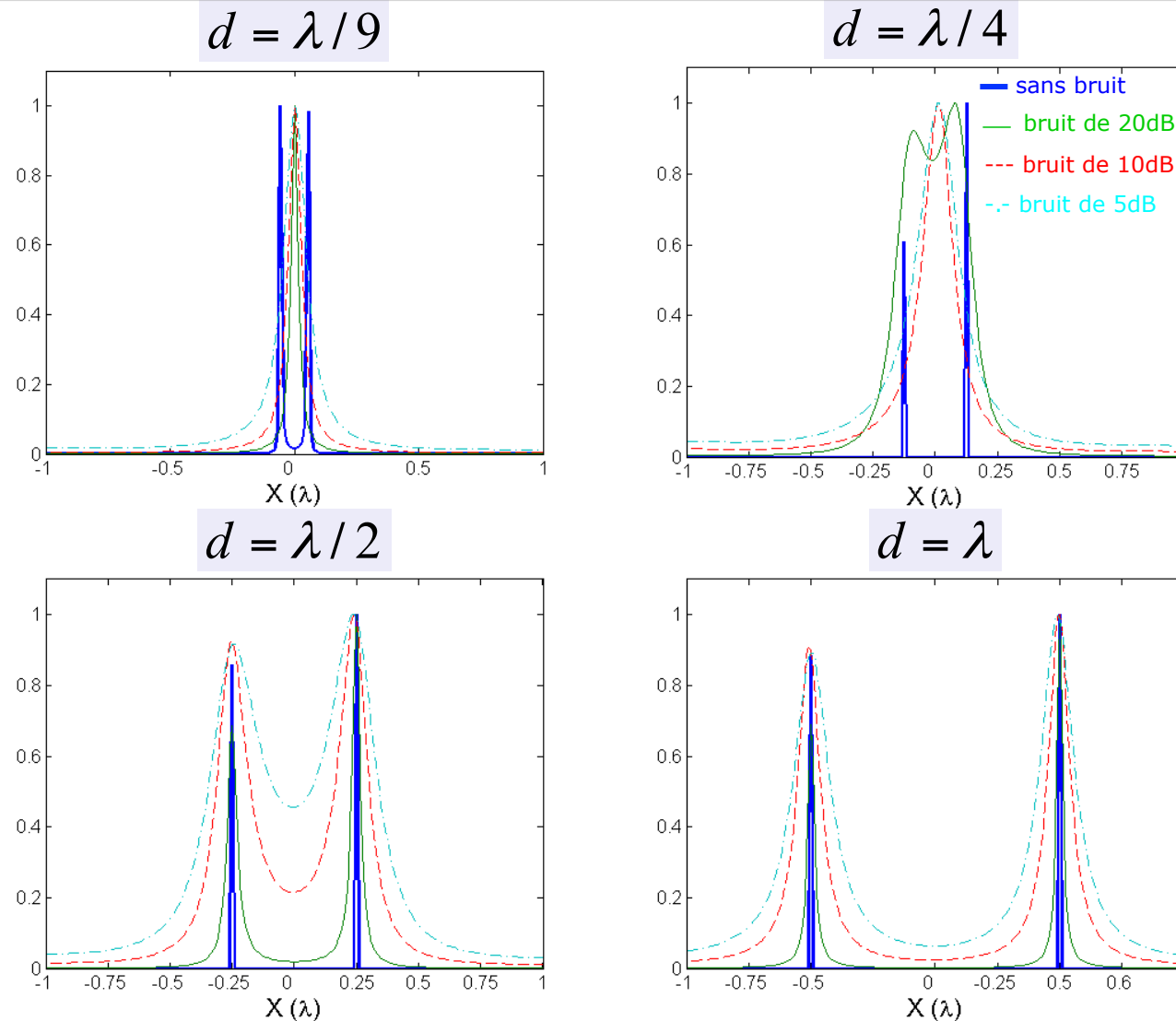
60 % iso-surface

2 sphères couplées (2 sphères identiques)

- Courbe de l'estimateur MUSIC le long de l'axe x qui traverse les centres des deux sphères, en prenant et sans prendre en compte l'effet du couplage



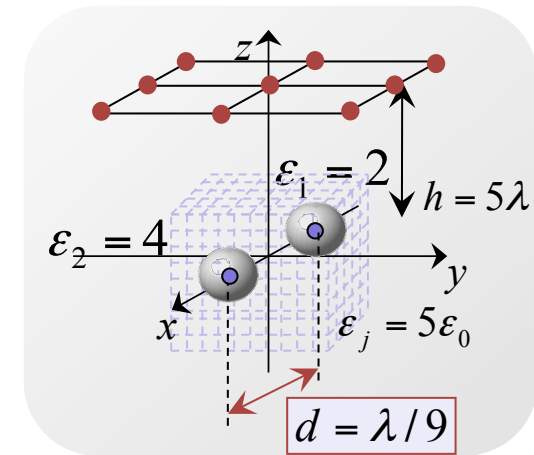
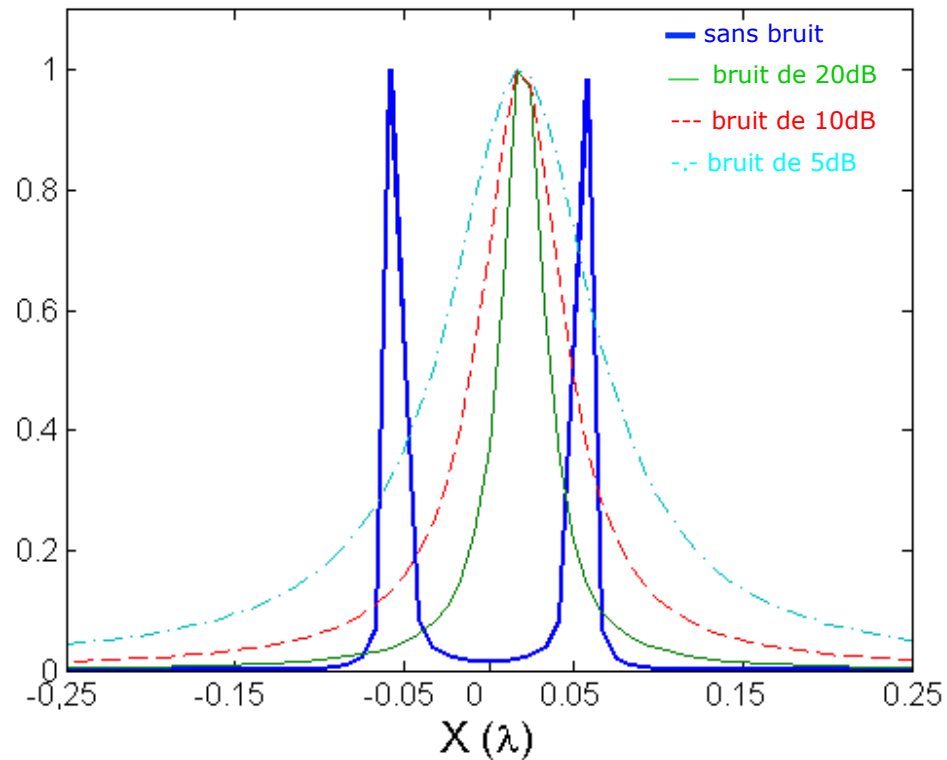
2 sphères couplées (différents niveaux de bruit)



- Courbe de l'estimateur MUSIC le long de l'axe x qui traverse les centres des deux sphères pour différents niveaux de bruit.

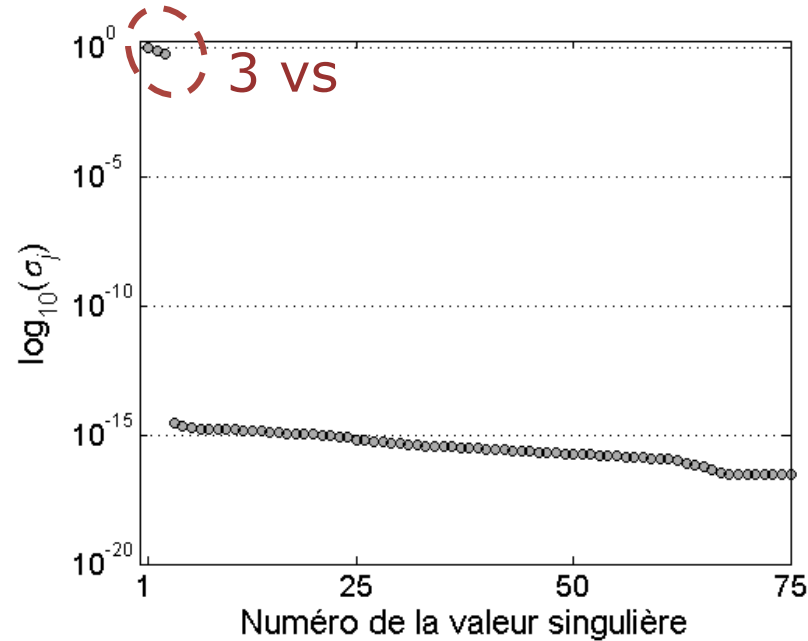
2 sphères couplées

- Pour deux sphères couplées de différentes permittivités.

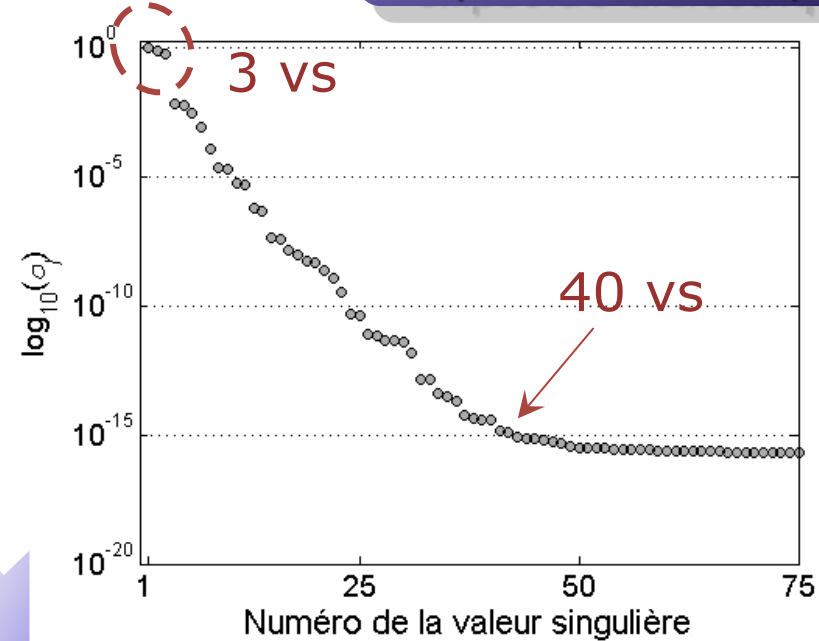
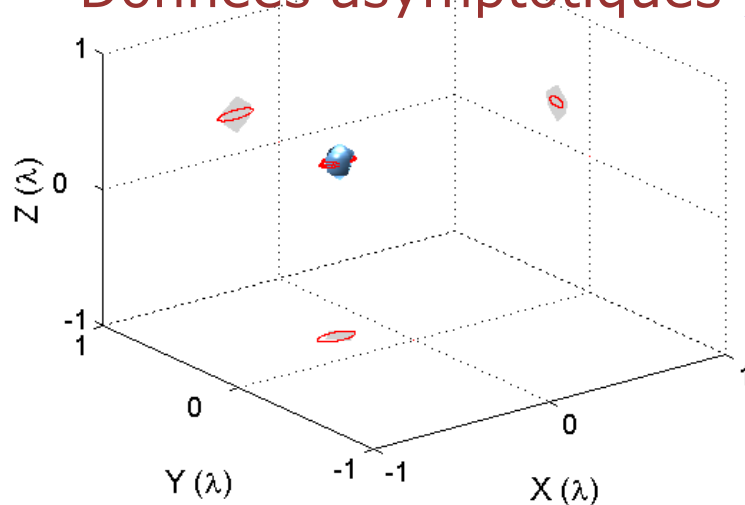


Reconstruction en espace libre: semi-axes: $(\lambda/10, \lambda/20, \lambda/30)$, $\epsilon_r=5$

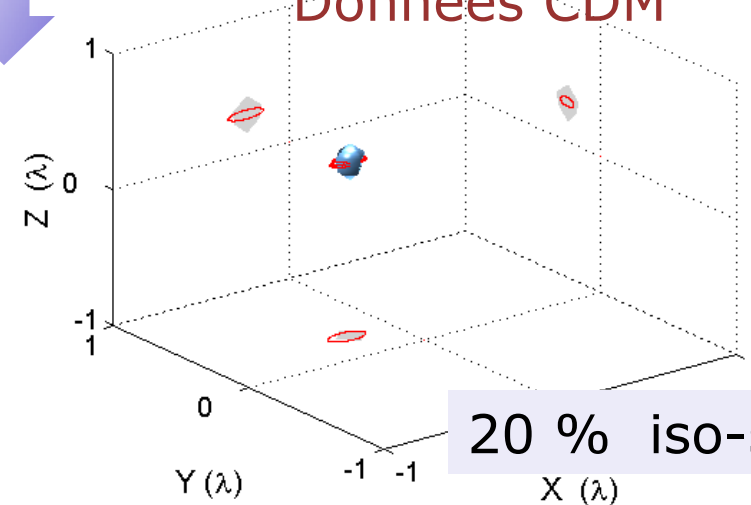
ellipsoïde diélectrique



Données asymptotiques



Données CDM



20 % iso-surface

Détermination de l'orientation d'un ellipsoïde

Ellipsoïde allongé

- **Milieu:** ε_0, μ_0

Fréquence de travail : 500MHz ($\lambda = 0.6m$)

- **Le réseau:**

Ligne de 21 dipôles sur l'axe x orientés selon x ($-3,3$) et y

Ligne d'antennes est symétrique par rapport à l'axe z .

- **Inclusion:**

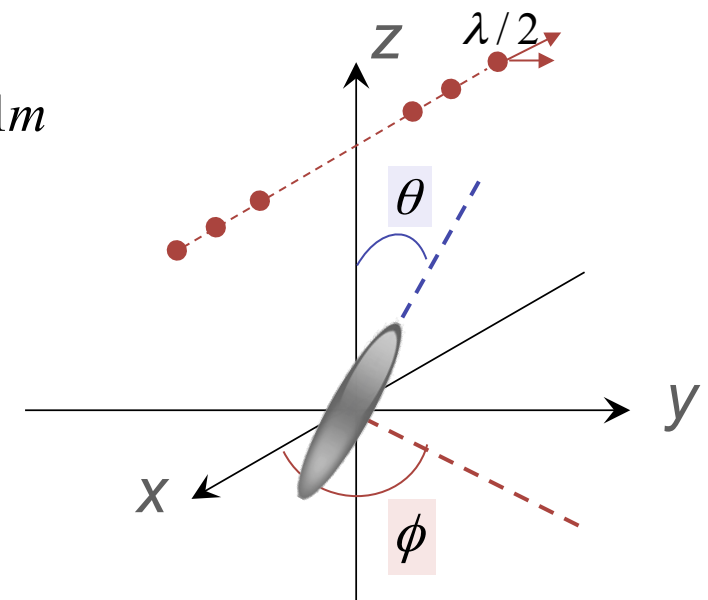
Rayons de l'inclusion : $(1, 1, 3)$ $\alpha = 0.01m$

Position: $X_1 = (0, 0, 0)$

Permittivité: $\varepsilon_1 = 5\varepsilon_0$

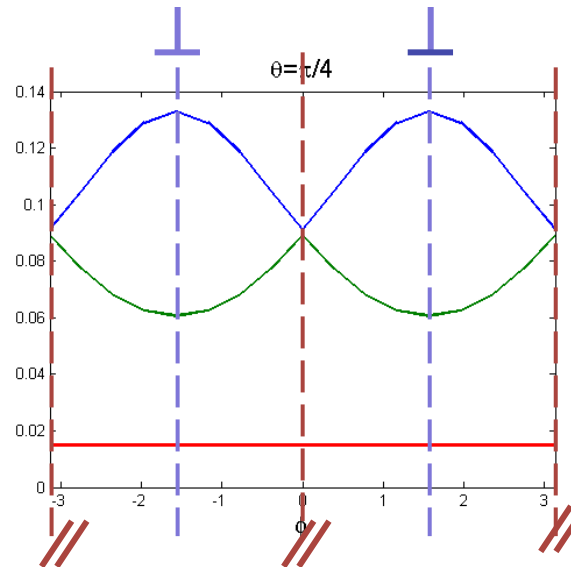
$Z = 5\lambda$

- On fait tourner l'ellipsoïde selon ϕ, θ

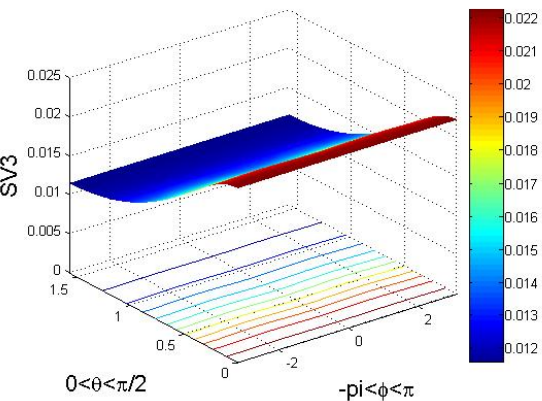
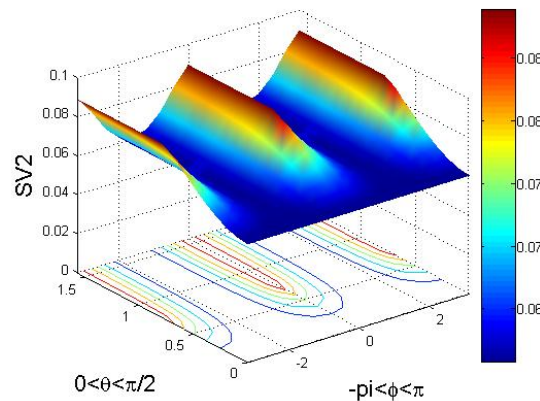
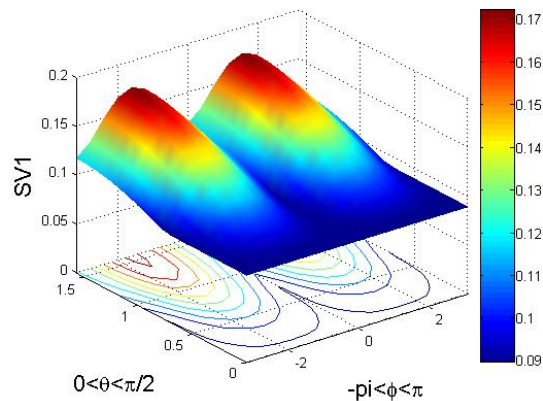


Les valeurs singulières d'un ellipsoïde

Ellipsoïde allongé



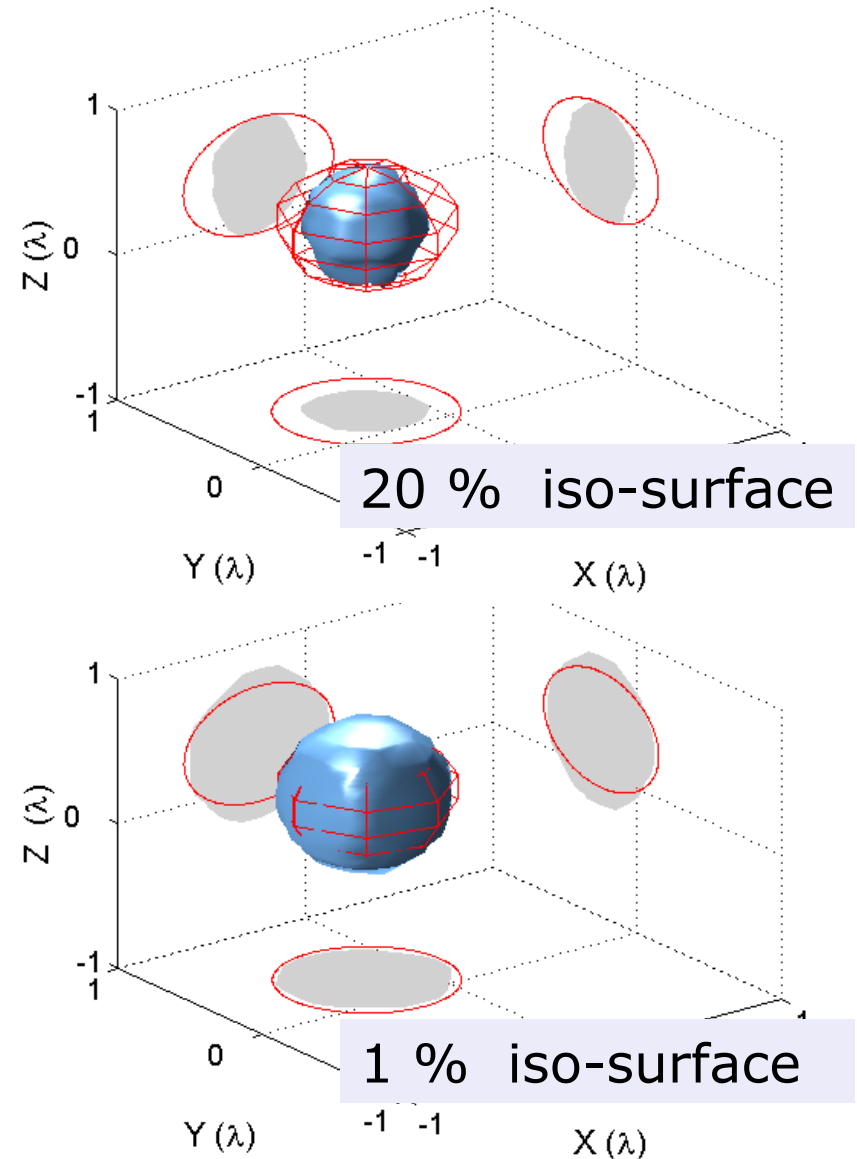
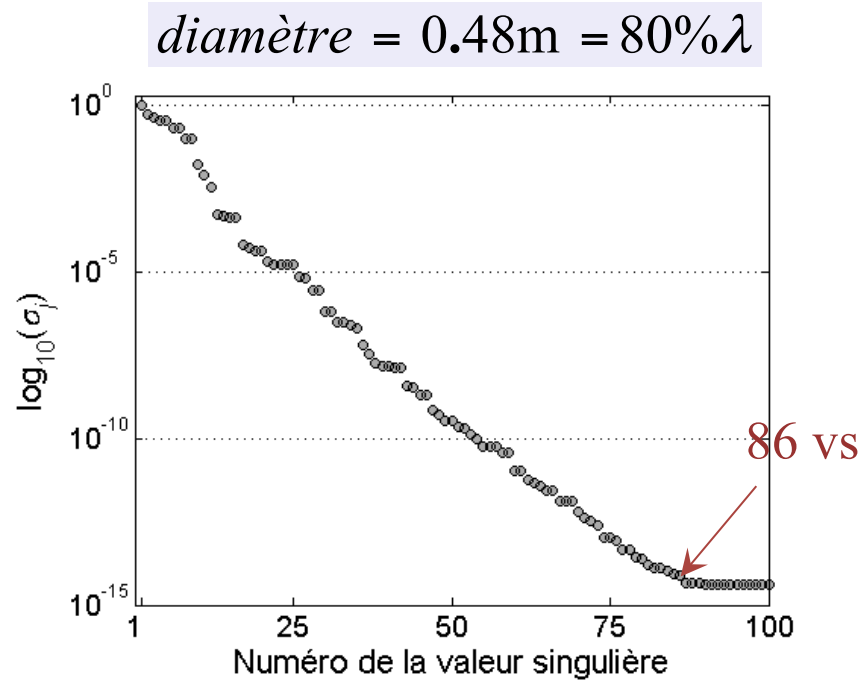
Les 3 valeurs singulières en fonction de ϕ



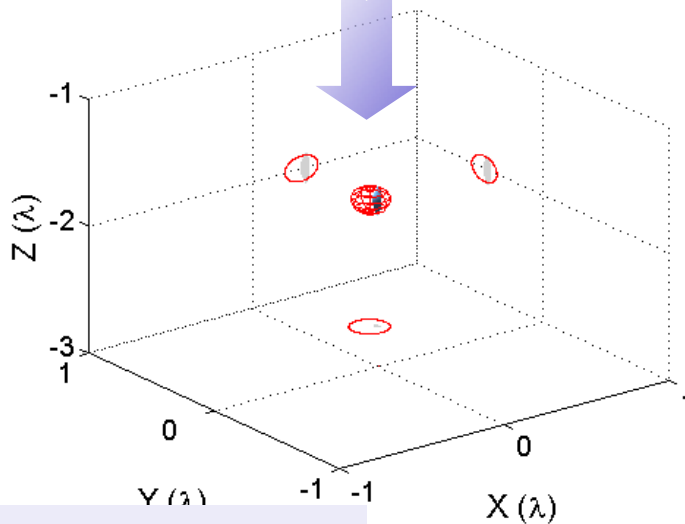
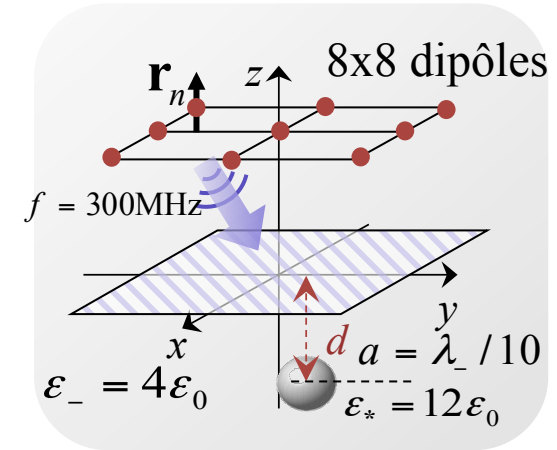
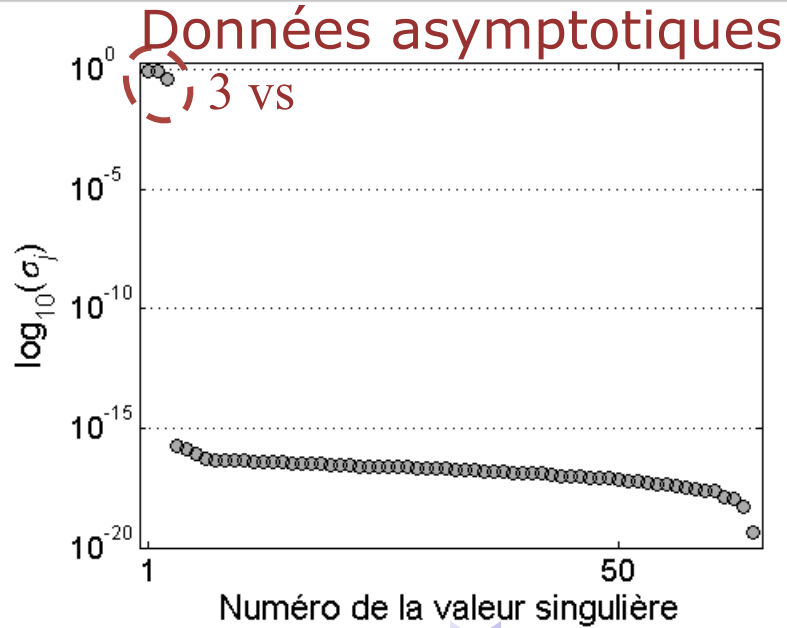
Quand 1^{ère} valeur singulière atteint un minimum, 2^{ème} valeur singulière atteint un maximum, 3^{ème} valeur singulière très petite

La ligne d'antennes et l'ellipsoïde allongé sont orientés en //

Reconstruction des objets étendus (CDM)

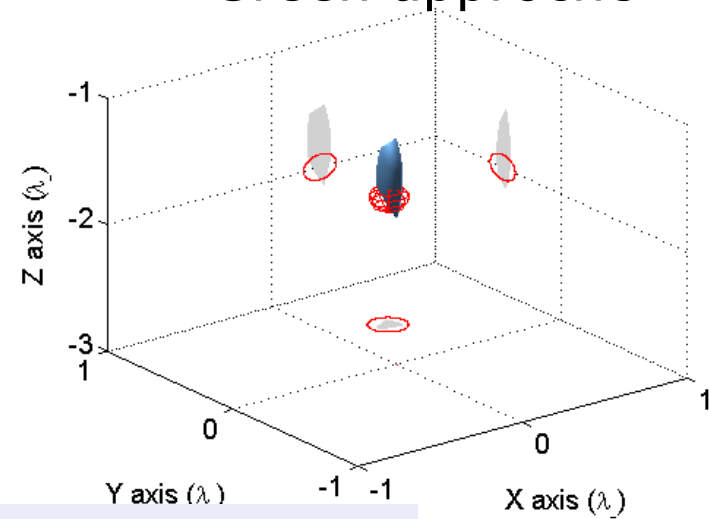


Reconstruction en demi-espace



80% iso-surface

Green approché



80% iso-surface

Conclusion

- Utilisation des données CDM pour éviter le crime inverse
- Problème de choix du nombre de valeurs singulières significatives (surtout sans bruit additif).
- L'imagerie MUSIC assure une super localisation pouvant distinguer 2 petites sphères très proches.
- Avec un bruit additif, on ne distingue plus qu'un seul objet qui rejoint la remarque d'Habib Ammari sur l'objet équivalent en centre de masse.
- Validation de la méthode de détermination de l'inclinaison d'un ellipsoïde aplati ou allongé telle que proposée par David Chambers
- Détection des objets étendus à partir de données CDM. L'algorithme MUSIC semble donner une information sur la taille de l'objet.

Perspectives

- Étude approfondie des objets étendus
- Analyse des vecteurs singuliers de la matrice MSR
- Étude du cas d'inclusions anisotropes dans un milieu isotrope ou anisotrope
- Étude de la configuration demi-espace avec une interface rugueuse